

EJERCICIOS DE GEODINÁMICA – TURCOTTE:

Capítulos 1 y 2

Presentado por:

Blanca Hurtado Lopera

Jeison Ocampo Ángel

Carlos Fernando Lozano Lozano

Alexander Sánchez Duque

MAESTRÍA EN GEOFÍSICA - DEPARTAMENTO DE GEOCIENCIAS

UNIVERSIDAD NACIONAL DE COLOMBIA SEDE BOGOTÁ

Abril 21 de 2009

PROBLEMA 1-1 Si el área de la corteza oceánica es $3.2 \times 10^8 \text{ km}^2$ y un nuevo piso oceánico

está siendo creado a una tasa de 2.8 km/año , ¿cuál es la edad media de la corteza oceánica?

Asuma que la tasa de creación del piso oceánico ha sido constante en el pasado.

Fórmula para el cálculo: $\frac{t}{2} = \frac{s}{2v}$ (1)

Donde:

$$\frac{t}{2} = \text{edad media de la corteza}$$

$$s = 3.2 \times 10^8 \text{ km}^2 \text{ (Superficie corteza oceánica)}$$

$$V = 2.8 \times 10^8 \text{ km}^2/\text{año} \text{ (Tasa de creación)}$$

Desarrollo matemático: reemplazando valores en (1)

▪

$$\frac{t}{2} = \frac{3.2 \times 10^8 \text{ km}^2}{2 \times \left(2.8 \frac{\text{km}^2}{\text{año}}\right)} = 57.1 \times 10^6 \text{ años}$$

$$\text{Edad media} = t/2 = 57.1 \text{ Ma}$$

PROBLEMA 1-2 A que profundidad ascenderá la roca del manto con una temperatura de

fusión de 1800 K si la ecuación de la temperatura solida T es:

$$T(K) = 1700 + 0.12p \text{ (Mpa)} \quad (1)$$

$$\rho = 3300 \text{ kg/m}^3, \quad g = 10 \text{ m/seg}^2$$

Asumir:

Desarrollo matemático:

La temperatura del manto en fusión es 1800 K, entonces en (1): $1800 = 1700 + 0.12p$

Se encuentra la presión “p” de la ecuación anterior, entonces: $p = 833.33 \text{ MPa}$

Finalmente la profundidad “y” se despeja de la siguiente ecuación: $p = \rho g y$

$$y = \frac{p}{\rho g} = \frac{833.33 \times 10^6 \text{ Pa}}{\left(3300 \frac{\text{kg}}{\text{m}^3}\right) \left(10 \frac{\text{m}}{\text{s}^2}\right)} = 25252.42 \text{ m} = 25.3 \text{ km}$$

PROBLEMA 1-3 Si asumimos que la actual tasa de subducción, $0.09 \text{ m}^2/\text{s}$, ha sido aplicable

en el pasado, qué espesor de sedimentos podrían haber sido subducidos en los pasados 3 Ga si la

masa de los sedimentos subducidos es igual a la mitad de la masa actual de los continentes.

Asuma la densidad de los continentes $\rho_c = 2700 \text{ kg/m}^3$, la densidad de los sedimentos $\rho_s = 2400$

kg/m^3 , el área continental $A_c = 1.9 \times 10^8 \text{ km}^2$, y la corteza continental media 35 km.

Datos para resolver el ejercicio:

$$v = 0.09 \text{ m}^2/\text{año} \text{ (Tasa de subducción)}$$

$$t = 3 \times 10^9 \text{ años} = 9.46 \times 10^{16} \text{ s} \text{ (Tiempo en que se calcula la subducción)}$$

$$\rho_c = 2700 \text{ kg/m}^3, \quad \rho_s = 2400 \text{ kg/m}^3$$

$$A_c = 1.9 \times 10^8 \text{ km}^2$$

$$h_c = 35 \text{ km} \times 2 = 70 \text{ km} \text{ (Altura de la corteza continental)}$$

Desarrollo matemático:

Primero hallamos el volumen continental actual (V_c):

$$V_c = A_c \times h_c = 1.9 \times 10^8 \text{ km}^2 \times 70 \text{ km}$$

$$V_c = 1.33 \times 10^{19} \text{ m}^3$$

Con el volumen y la densidad hallamos la masa continental actual (M_c):

$$M_c = \rho_c \times V_c = 2700 \frac{kg}{m^3} \times 1.33 \times 10^{19} m^3 = 3.59 \times 10^{22} kg$$

Calculamos la masa de sedimentos subducida (M_s):

$$M_s = \frac{M_c}{2} = \frac{3.59 \times 10^{22} kg}{2} = 1.80 \times 10^{22} kg$$

Ahora, el volumen de sedimentos subducidos (V_s):

$$V_s = \frac{M_s}{\rho_s} = \frac{1.80 \times 10^{22} kg}{2400 \frac{kg}{m^3}} = 7.48 \times 10^{18} m^3$$

Con la velocidad de subducción y el tiempo calculamos el área de sedimentos subducida (A_s):

$$A_s = V \times t = 0.09 \frac{m^2}{s} \times 9.46 \times 10^{16} s = 8.52 \times 10^{15} m^2$$

Finalmente, encontramos la altura o espesor de sedimentos subducidos (h) relacionando

volumen subducido con área subducida:

$$h_s = \frac{V_s}{A_s} = \frac{7.48 \times 10^{18} \text{ m}^3}{8.52 \times 10^{15} \text{ m}^2} = \mathbf{878.08 \text{ m}}$$

PROBLEMA 1-4 La edad de los meteoritos puede ser determinada por la construcción de

una isócrona plomo-plomo a partir de un plomo isotópico sobre un número de muestras de

meteoritos. La isócrona es la mejor relación lineal entre los datos de un diagrama $N(^{207}\text{Pb})/N$

$(^{204}\text{Pb}) - N(^{206}\text{Pb})/N(^{204}\text{Pb})$. El ^{204}Pb no es radiogénico. Muestre que la ecuación teórica de tal

isócrona es:

$$\frac{N(^{207}\text{Pb})}{N(^{204}\text{Pb})} = \frac{N(^{235}\text{U})}{N(^{238}\text{U})} \times \frac{(e^{\lambda(^{235}\text{U})t} - 1)}{(e^{\lambda(^{238}\text{U})t} - 1)} \times \frac{N(^{206}\text{Pb})}{N(^{204}\text{Pb})} + \left\{ \frac{N(^{207}\text{Pb})}{N(^{204}\text{Pb})}(t=0) - \frac{N(^{235}\text{U})}{N(^{238}\text{U})} \times \frac{(e^{\lambda(^{235}\text{U})t} - 1)}{(e^{\lambda(^{238}\text{U})t} - 1)} \times \frac{N(^{206}\text{Pb})}{N(^{204}\text{Pb})}(t=0) \right\}$$

Si la pendiente de la isócrona es 0.6128 ± 0.014 , determine la edad de los meteoritos y la

incertidumbre de la edad. Asuma $N(^{235}\text{U})/N(^{238}\text{U}) = 1/137.88$.

Desarrollo matemático:

Consideración inicial (número de átomos en el tiempo de ^{207}Pb normalizado por el número de

átomos presentes del átomo no radiogénico ^{204}Pb):

$$\frac{N(^{207}Pb)}{N(^{204}Pb)} = \frac{N(^{207}Pb)}{N(^{204}Pb)} (t = 0) - \frac{N(^{206}Pb)}{N(^{204}Pb)} (e^{\lambda t} - 1) \quad (1)$$

Ecuación 1-18 del Turcotte donde para el cual el Plomo se origina a partir del decaimiento de

Uranio:

$$\frac{\frac{N(^{206}Pb)}{N(^{238}U)}}{\frac{N(^{207}Pb)}{N(^{235}U)}} = \frac{(e^{\lambda(^{238}U)t} - 1)}{(e^{\lambda(^{235}U)t} - 1)}$$

De la ecuación anterior obtenemos:

$$\frac{N(^{206}Pb)N(^{235}U)}{N(^{238}U)N(^{207}Pb)} = \frac{(e^{\lambda(^{238}U)t} - 1)}{(e^{\lambda(^{235}U)t} - 1)}$$

Despejando Uranio en la izquierda de la ecuación obtenemos las dos relaciones siguientes:

$$\frac{N(^{235}\text{U})}{N(^{238}\text{U})} = \frac{(e^{\lambda(^{238}\text{U})t} - 1)}{(e^{\lambda(^{235}\text{U})t} - 1)} \times \frac{N(^{207}\text{Pb})}{N(^{206}\text{Pb})} \quad \text{y,} \quad \frac{N(^{238}\text{U})}{N(^{235}\text{U})} = \frac{(e^{\lambda(^{235}\text{U})t} - 1)}{(e^{\lambda(^{238}\text{U})t} - 1)} \times \frac{N(^{206}\text{Pb})}{N(^{207}\text{Pb})}$$

$$\frac{N(^{206}\text{Pb})}{N(^{204}\text{Pb})} = \frac{N(^{238}\text{U})}{N(^{204}\text{Pb})} \left(e^{\lambda(^{238}\text{U})t} - 1 \right) + \frac{N(^{206}\text{Pb})}{N(^{204}\text{Pb})} (t = 0) \quad (1)$$

$$\frac{N(^{207}\text{Pb})}{N(^{204}\text{Pb})} = \frac{N(^{235}\text{U})}{N(^{204}\text{Pb})} \left(e^{\lambda(^{235}\text{U})t} - 1 \right) + \frac{N(^{207}\text{Pb})}{N(^{204}\text{Pb})} (t = 0) \quad (2)$$

$$\frac{N(^{206}\text{Pb})}{N(^{204}\text{Pb})} (t = 0) = \frac{N(^{206}\text{Pb})}{N(^{204}\text{Pb})} - \frac{N(^{238}\text{U})}{N(^{204}\text{Pb})} \left(e^{\lambda(^{238}\text{U})t} - 1 \right)$$

$$\frac{N(^{207}Pb)}{N(^{204}Pb)}(t = 0) = \frac{N(^{207}Pb)}{N(^{204}Pb)} - \frac{N(^{235}U)}{N(^{204}Pb)} \left(e^{\lambda(^{235}U)t} - 1 \right)$$

$$\frac{N(^{206}Pb)}{N(^{204}Pb)} = \frac{N(^{206}Pb)}{N(^{204}Pb)}(t = 0) + \frac{N(^{238}U)}{N(^{204}Pb)} \left(e^{\lambda(^{238}U)t} - 1 \right)$$

$$\frac{N(^{207}Pb)}{N(^{204}Pb)} = \frac{N(^{207}Pb)}{N(^{204}Pb)}(t = 0) + \frac{N(^{235}U)}{N(^{204}Pb)} \left(e^{\lambda(^{235}U)t} - 1 \right)$$

Si tenemos una fórmula análoga a la ecuación 1-9 para el caso del Plomo donde tendríamos que

$N(^{207}Pb) = N(^{207}Pb)(t = 0) + N(^{206}Pb)(e^{\lambda t} - 1)$, y apoyándonos en la siguiente expresión

$$N(^{207}Pb)(t = 0) = \frac{N(^{235}U)}{N(^{238}U)} \frac{(e^{\lambda(^{235}U)t} - 1)}{(e^{\lambda(^{238}U)t} - 1)} N(^{206}Pb)$$

, llegamos a obtener lo siguiente:

$$N(^{207}\text{Pb}) = \frac{N(^{235}\text{U})}{N(^{238}\text{U})} \frac{(e^{\lambda(^{235}\text{U})t} - 1)}{(e^{\lambda(^{238}\text{U})t} - 1)} N(^{206}\text{Pb}) + N(^{206}\text{Pb})(e^{\lambda t} - 1)$$

Como la ecuación 1-7 afirma que: $N(D) = N(P)(t = 0) - N(p)$

Además:
$$N(D) = N(^{206}\text{Pb})(e^{\lambda t} - 1)$$

$$N(P)(t = 0) = N(^{207}\text{Pb})(t = 0)$$

$$N(P) = N(^{207}\text{Pb}) = N(P)(t = 0) - N(p)$$

Entonces tenemos que:
$$N(^{207}\text{Pb}) = N(P)(t = 0) - N(p) + \{N(P)(t = 0) - N(p)\}$$

Normalizando la ecuación anterior con respecto del átomo no radiogénico Pb obtenemos:

$$\frac{N(^{207}\text{Pb})}{N(^{204}\text{Pb})} = \frac{N(P) - N(P)}{N(^{204}\text{Pb})} + \left\{ \frac{N(^{207}\text{Pb})}{N(^{204}\text{Pb})}(t=0) - \frac{N(P)(t=0) - N(P)}{N(^{204}\text{Pb})} \right\}$$

Finalmente obtenemos la ecuación teórica de la isócrona:

$$\frac{N(^{207}\text{Pb})}{N(^{204}\text{Pb})} = \frac{N(^{235}\text{U})}{N(^{238}\text{U})} \times \frac{(e^{\lambda(^{235}\text{U})t} - 1)}{(e^{\lambda(^{238}\text{U})t} - 1)} \times \frac{N(^{206}\text{Pb})}{N(^{204}\text{Pb})} + \left\{ \frac{N(^{207}\text{Pb})}{N(^{204}\text{Pb})}(t=0) - \frac{N(^{235}\text{U})}{N(^{238}\text{U})} \times \frac{(e^{\lambda(^{235}\text{U})t} - 1)}{(e^{\lambda(^{238}\text{U})t} - 1)} \times \frac{N(^{206}\text{Pb})}{N(^{204}\text{Pb})}(t=0) \right\}$$

Asumiendo que $N(^{235}\text{U})/N(^{238}\text{U}) = 1/137.88$, y que la pendiente de la isócrona es 0.6128

obtenemos la ecuación con la que podemos determinar la edad del meteorito:

$$\frac{N(^{207}\text{Pb})}{N(^{204}\text{Pb})} = \frac{1}{137.88} \times 0.6128 + \left\{ \frac{N(^{207}\text{Pb})}{N(^{204}\text{Pb})} (t = 0) - \frac{1}{137.88} \times 0.6128 (t = 0) \right\}$$

PROBLEMA 1-5 Muestre que la vida media de los átomos de un isótopo radiactivo con

decaimiento constante λ es λ^{-1} .

PROBLEMA 1-6 Dos minerales A y B de una roca tienen relaciones $N(^{87}\text{Sr})/N(^{86}\text{Sr})$ de 0.79

y 0.77 y $N(^{87}\text{Rb})/N(^{86}\text{Sr})$ de 5.1 y 2.1 respectivamente. Para entender estas relaciones asuma que

la roca sufrió una alteración metamórfica en alguna etapa de su vida después de su formación.

Asuma que durante el metamorfismo el ^{87}Sr fue completamente mezclado pero no perdido.

Deduzca la edad original de la roca y del evento metamórfico. Asuma que el mineral A es el 8% de

la roca y que el mineral B es el 18%. Tome como relación de número común de átomos ^{87}Sr a ^{86}Sr

0.7.

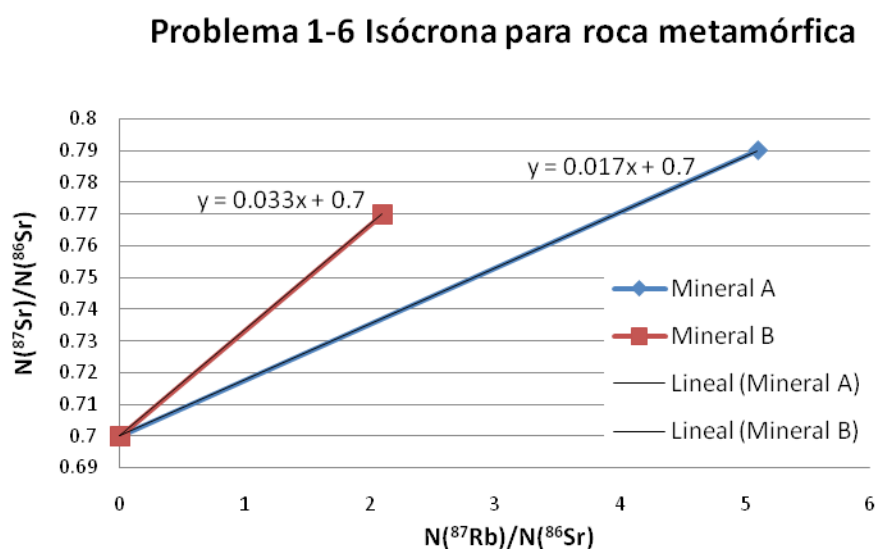
Del enunciado podemos construir la siguiente tabla de datos:

	Mineral A	Mineral B
$\frac{^{87}\text{N}(\text{Sr})}{^{86}\text{N}(\text{Sr})}$	0.79	0.77
$\frac{^{87}\text{N}(\text{Rb})}{^{86}\text{N}(\text{Sr})}$	5.1	2.1

Con la anterior tabla de datos se grafica en Excel obteniendo y sabiendo que la relación

87 86

Sr/ Sr=0.7 definiría el intercepto sobre el eje de las ordenadas, obtenemos la siguiente figura:



Desarrollo matemático:

A partir de la figura anterior y empleando las ecuaciones de la línea recta obtenidas, podemos

calcular la edad de la roca y del metamorfismo:

Mineral A: $e^{-\lambda t} - 1 = 0.0176$

$$\ln e^{-\lambda t} = \ln 1.0176$$

$$\lambda t = 0.0174$$

$$t = 0.0174 / 1.42 \times 10^{-11} \text{ año} \quad (\lambda \text{ asumido a partir de la tabla 1-2})$$

$$t = 1.228 \times 10^9 \text{ años} = 1228 \text{ Ma (EDAD DEL METAMORFISMO)}$$

Mineral B: $e^{-\lambda t} - 1 = 0.0333$

$$\ln e^{-\lambda t} = \ln 1.0333$$

$$\lambda t = 0.03275$$

$$t = 0.03275 / 1.42 \times 10^{-11} \text{ año} \quad (\lambda \text{ asumido a partir de la tabla 1-2})$$

$$t = 2.30 \times 10^9 \text{ años} = 2306 \text{ Ma (EDAD DE LA ROCA)}$$

PROBLEMA 1-7 Asuma que el campo magnético de la Tierra es un dipolo. ¿Cuál es la intensidad máxima del campo en la frontera núcleo-manto?

Fórmula para el cálculo:

$$B = \frac{\mu_0 m}{4\pi a^3} (1 + 3\sin^2 \phi_m)^{1/2} \quad (1)$$

Donde:

B = intensidad del campo magnético

$$m = 7.94 \cdot 10^{22} \text{ Am}^2 \text{ (momento dipolar magnético de la Tierra)}$$

$$\mu_0 = 4\pi \cdot 10^{-7} \frac{\text{Tm}}{\text{A}} \text{ (permeabilidad del espacio libre)}$$

$$a = 3.486 \cdot 10^6 \text{ m (radio núcleo terrestre, demarca la frontera núcleo- manto)}$$

$$\phi_m = \text{latitud magnética}$$

Observaciones:

Para encontrar la máxima intensidad del campo magnético el $\sin \phi_m^2$ presente en la fórmula (1)

debe corresponder a su valor máximo, se logra asignando un ángulo $\phi_m = \pm 90^\circ$ (polos

magnéticos).

Desarrollo matemático:

$$B = \frac{\left(4\pi * 10^{-7} \frac{Tm}{A}\right) (7.94 * 10^{22} Am^2)}{4\pi (3.486 * 10^6 m)^3} (1 + 3\text{sen}^2(90^\circ))^{1/2}$$

$$B = 3.75 * 10^{-4} T$$

El valor hallado corresponde a la máxima intensidad del campo magnético terrestre en la frontera núcleo-manto.

PROBLEMA 1-8 Asuma que el campo magnético de la Tierra es un dipolo. ¿A qué distancia

encima de la superficie terrestre el valor de la magnitud es la mitad de su valor en superficie?

Fórmula clave para solucionar el PROBLEMA:

$$B_h = \frac{B_e}{2} \quad (1)$$

Donde:

B_h = magnitud del campo magnético en la altura desconocida “h”

B_e = magnitud del campo magnético en la superficie terrestre en el ecuador

Observaciones:

Se realizará el cálculo para el ecuador donde el valor de intensidad es conocido ($B_e = 3.07 \cdot 10^{-5}$

T). Además, la fórmula para encontrar la magnitud en el ecuador ($\phi_m = 0^\circ$) a una altura

desconocida “h” sobre la superficie es:

$$B_h = \frac{\mu_0 m}{4\pi a_h^3} \quad (2)$$

Donde:

$$m = 7.94 \cdot 10^{22} \text{ Am} \quad (\text{momento dipolar magnético de la Tierra})$$

$$\mu_0 = 4\pi \cdot 10^{-7} \frac{\text{Tm}}{\text{A}} \quad (\text{permeabilidad del espacio libre})$$

a_h = radio desde el centro de la Tierra hasta una altura desconocida " h " sobre el ecuador que

satisface la ecuación (1)

Desarrollo matemático:

Se igualan las ecuaciones (1) y (2): $\frac{B_g}{2} = \frac{\mu_0 m}{4\pi a_h^3}$

Se despeja a_h^3 : $a_h^3 = \frac{\mu_0 m}{2\pi B_g}$ (3)

Reemplazando valores:

$$a_h = \sqrt[3]{\frac{(4\pi \times 10^{-7} \frac{Tm}{A})(7.94 \times 10^{22} Am^2)}{2\pi (3.07 \times 10^{-5} T)}}$$

$$a_h = 8.027 \times 10^6 m$$

Finalmente el PROBLEMA se soluciona encontrando la altura desconocida “h” a partir de la

siguiente ecuación:

$$h = a_h - a_e \quad (4)$$

Donde:

h = altura sobre la superficie terrestre que satisface la ecuación (1)

$a_h = 8.027 \cdot 10^6$ m (radio desde el centro terrestre que satisface la ecuación (1))

$a_e = 6.378139 \cdot 10^6$ m (radio desde el centro terrestre hasta el ecuador)

Reemplazando en (4) los valores anteriores encontramos que la altura “ h ” donde el valor de la magnitud del campo magnético es la mitad de su valor en superficie (para el caso específico del Ecuador):

$$h = 1649186.43 \text{ m} \approx 1650 \text{ km}$$

PROBLEMA 1-9 La declinación e inclinación del campo paleomagnético medidas en rocas del Triásico Superior a 41.5°N y 72.7°W son $D = 18^\circ$ e $I = 12^\circ$. Determine la posición de polo paleomagnético.

Fórmula para iniciar el cálculo: $\text{sen}\phi_p = \text{sen}\phi * \cos\theta_m + \cos\phi * \text{sen}\theta_m * \cos D$ (1)

Donde:

ϕ_p = latitud del polo paleomagnético

ϕ = 41.5°N (latitud del sitio donde se muestrea la roca)

θ_m = colatitud o distancia angular entre el polo paleomagnético y el sitio de muestreo de

la roca

D = 18° (declinación magnética observada en la roca muestreada)

Desarrollo matemático:

Como no conocemos el ángulo θ_m , empleamos la siguiente ecuación para encontrarlo:

$$\tan I = 2 \cot \theta_m$$

Despejando θ_m tenemos que:

$$\theta_m = \cot^{-1} \left(\frac{\tan I}{2} \right) \quad (2)$$

Donde:

$I = 12^\circ$ (inclinación magnética observada en la roca muestreada)

Reemplazando en (2):

$$\theta_m = \cot^{-1} \left(\frac{\tan(12^\circ)}{2} \right) = 83.9^\circ$$

Reemplazando θ_m en (1):

$$\text{sen}\phi_p = \text{sen}(41.5^\circ) * \cos(83.9^\circ) + \cos(41.5^\circ) * \text{sen}(83.9^\circ) * \cos(18^\circ) = 0.778$$

Finalmente:
$$\phi_p = \text{sen}^{-1}(0.778) = 51.1^\circ N$$

El anterior valor corresponde a la latitud del polo paleomagnético (ϕ_p) y tiene dirección Norte

debido a que es un ángulo positivo.

Para hallar la dirección de la longitud del polo paleomagnético (φ_p) se tienen en cuenta las

siguientes relaciones:

$$\text{sen}(\varphi_p - \varphi) = \frac{\text{sen } \theta_m * \text{sen } D}{\cos \phi_p} \quad \text{si} \quad \cos \theta_m > \text{sen } \phi * \text{sen } \phi_p \quad (3)$$

$$\text{sen}(\pi + \varphi - \varphi_p) = \frac{\text{sen } \theta_m * \text{sen } D}{\cos \phi_p} \quad \text{si} \quad \cos \theta_m < \text{sen } \phi * \text{sen } \phi_p \quad (4)$$

Donde:

φ_p = longitud del polo paleomagnético

φ = $72.7^\circ\text{W} = -72.7^\circ\text{E}$ (longitud del sitio donde se muestrea la roca)

π = 180°

En este caso se selecciona la ecuación (4) ya que:

$$\cos \theta_m = 0.106 < \sin \phi * \sin \phi_p = 0.516$$

Entonces:

$$\sin(180^\circ - 72.7^\circ - \varphi_p) = \frac{\sin(83.9^\circ) * \sin(18^\circ)}{\cos(83.9^\circ)} = 0.489$$

Despejando φ_p :

$$107.3^\circ - \varphi_p = \sin^{-1}(0.489)$$

$$\varphi_p = 107.3^\circ - 29.3^\circ = \mathbf{78^\circ E}$$

El anterior valor corresponde a la longitud del polo paleomagnético (φ_p) y tiene dirección Este

debido a que es un ángulo positivo.

Posición del polo paleomagnético: $\phi_p = 51.1^\circ N$ / $\varphi_p = 78^\circ E$

PROBLEMA 1-10 La declinación e inclinación del campo paleomagnético medidas en rocas

del Oligoceno a $51^\circ N$ y $14.7^\circ E$ son $D = 200^\circ$ e $I = -63^\circ$. Determine la posición de polo

paleomagnético.

Fórmula para iniciar el cálculo: $\text{sen}\phi_p = \text{sen}\phi * \cos\theta_m + \cos\phi * \text{sen}\theta_m * \cos D$ (1)

Donde:

$\phi_p =$ latitud del polo paleomagnético

$\phi = 51^\circ\text{N}$ (latitud del sitio donde se muestrea la roca)

$\theta_m =$ colatitud o distancia angular entre el polo paleomagnético y el sitio de muestreo de

la roca

$D = 200^\circ$ (declinación magnética observada en la roca muestreada)

Desarrollo matemático:

Como no conocemos el ángulo θ_m , empleamos la siguiente ecuación para encontrarlo:

$$\tan I = 2 \cot \theta_m$$

Despejando θ_m tenemos que:

$$\theta_m = \cot^{-1} \left(\frac{\tan I}{2} \right) \quad (2)$$

Donde:

$I = -63^\circ$ (inclinación magnética observada en la roca muestreada)

Reemplazando en (2):

$$\theta_m = \cot^{-1} \left(\frac{\tan(-63^\circ)}{2} \right) = -45.5^\circ$$

Reemplazando θ_m en (1):

$$\sin \phi_p = \sin(51^\circ) * \cos(-45.5^\circ) + \cos(51^\circ) * \sin(-45.5^\circ) * \cos(200^\circ) = 0.967$$

Finalmente:

$$\phi_p = \text{sen}^{-1}(0.967) = 75.1^\circ N$$

El anterior valor corresponde a la latitud del polo paleomagnético (ϕ_p) y tiene dirección Norte

debido a que es un ángulo positivo.

Para hallar la dirección de la longitud del polo paleomagnético (φ_p) se tienen en cuenta las

siguientes relaciones:

$$\text{sen}(\varphi_p - \varphi) = \frac{\text{sen } \theta_m * \text{sen } D}{\cos \phi_p} \quad \text{si} \quad \cos \theta_m > \text{sen } \phi * \text{sen } \phi_p \quad (3)$$

$$\text{sen}(\pi + \varphi - \varphi_p) = \frac{\text{sen } \theta_m * \text{sen } D}{\cos \phi_p} \quad \text{si} \quad \cos \theta_m < \text{sen } \phi * \text{sen } \phi_p \quad (4)$$

Donde:

φ_p = longitud del polo paleomagnético

φ = 14.7°E (longitud del sitio donde se muestrea la roca)

π = 180°

En este caso se selecciona la ecuación (4) ya que:

$$\cos \theta_m = 0.7 < \sin \phi * \sin \phi_p = 0.751$$

Entonces:

$$\sin(180^\circ + 14.7^\circ - \varphi_p) = \frac{\sin(-45.5^\circ) * \sin(200^\circ)}{\cos(75.1^\circ)} = 0.949$$

Despejando φ_p : $194.7^\circ - \varphi_p = \sin^{-1}(0.949)$

$$\varphi_p = 194.7^\circ - 71.6^\circ = 123.1^\circ E$$

El anterior valor corresponde a la longitud del polo paleomagnético (φ_p) y tiene dirección Este

debido a que es un ángulo positivo.

Posición del polo paleomagnético: $\phi_p = 75.1^\circ N / \varphi_p = 123.1^\circ E$

PROBLEMA 1-11 La declinación e inclinación del campo paleomagnético medidas en rocas

del Cretáceo Inferior a 45.5°N y 73°W son $D = 154^\circ$ e $I = -58^\circ$. Determine la posición de polo

paleomagnético.

Fórmula para iniciar el cálculo: $\text{sen}\phi_p = \text{sen}\phi * \cos\theta_m + \cos\phi * \text{sen}\theta_m * \cos D$ (1)

Donde:

ϕ_p = latitud del polo paleomagnético

ϕ = 45.5°N (latitud del sitio donde se muestrea la roca)

θ_m = colatitud o distancia angular entre el polo paleomagnético y el sitio de muestreo de la

roca

D = 154° (declinación magnética observada en la roca muestreada)

Desarrollo matemático:

Como no conocemos el ángulo θ_m , empleamos la siguiente ecuación para encontrarlo:

$$\tan I = 2 \cot \theta_m$$

Despejando θ_m tenemos que:

$$\theta_m = \cot^{-1} \left(\frac{\tan I}{2} \right) \quad (2)$$

Donde:

$I = -58^\circ$ (inclinación magnética observada en la roca muestreada)

Reemplazando en (2): $\theta_m = \cot^{-1}\left(\frac{\tan(-58^\circ)}{2}\right) = -51.3^\circ$

Reemplazando θ_m en (1):

$$\text{sen}\phi_p = \text{sen}(45.5^\circ) * \cos(-51.3^\circ) + \cos(45.5^\circ) * \text{sen}(-51.3^\circ) * \cos(154^\circ) = 0.938$$

Finalmente: $\phi_p = \text{sen}^{-1}(0.938) = 69.7^\circ N$

El anterior valor corresponde a la latitud del polo paleomagnético (ϕ_p) y tiene dirección Norte

debido a que es un ángulo positivo.

Para hallar la dirección de la longitud del polo paleomagnético (φ_p) se tienen en cuenta las

siguientes relaciones:

$$\text{sen}(\varphi_p - \varphi) = \frac{\text{sen } \theta_m * \text{sen } D}{\cos \phi_p} \quad \text{si} \quad \cos \theta_m > \text{sen } \phi * \text{sen } \phi_p \quad (3)$$

$$\text{sen}(\pi + \varphi - \varphi_p) = \frac{\text{sen } \theta_m * \text{sen } D}{\cos \phi_p} \quad \text{si} \quad \cos \theta_m < \text{sen } \phi * \text{sen } \phi_p \quad (4)$$

Donde:

φ_p = longitud del polo paleomagnético

$\varphi = 73^\circ W = -73^\circ E$ (longitud del sitio donde se muestrea la roca)

$\pi = 180^\circ$

En este caso se selecciona la ecuación (4) ya que:

$$\cos \theta_m = 0.625 < \sin \phi * \sin \phi_p = 0.670$$

Entonces:
$$\sin(180^\circ - 73^\circ - \varphi_p) = \frac{\sin(-51.3^\circ) * \sin(154^\circ)}{\cos(69.7^\circ)} = -0.986$$

Despejando φ_p :

$$107^\circ - \varphi_p = \sin^{-1}(-0.986)$$

$$\varphi_p = 107.3^\circ + 80.4^\circ = \mathbf{187.7^\circ E}$$

El anterior valor corresponde a la longitud del polo paleomagnético (φ_p) y tiene dirección Este

debido a que es un ángulo positivo.

Posición del polo paleomagnético: $\phi_p = 69.7^\circ N / \varphi_p = 187.7^\circ E$

PROBLEMA 1-12 Determine la velocidad de expansión del piso oceánico sobre el Rise

Oriental del Pacífico a partir del perfil de anomalías magnéticas dado en la Figura 1.24a.

A partir de la figura 1.24a y empleando una regla se midieron las distancias a partir del eje del

Rise para cada pico que marca el cambio en la pendiente de la anomalía magnética registrada.

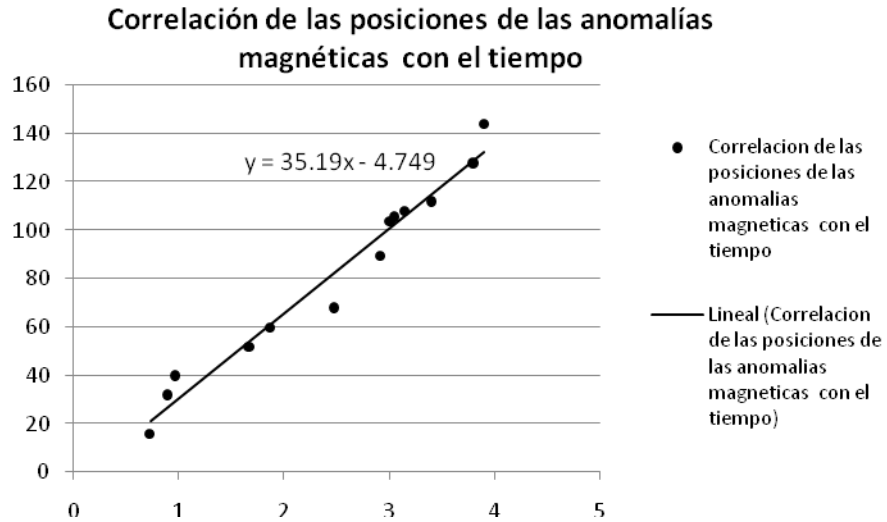
Con el apoyo de la figura 1-20 se obtuvo la siguiente tabla de datos:

De la figura 1.24a	
Distancia	Tiempo
(km)	(Ma)

16	0,73
32	0,9
40	0,97
52	1,67
60	1,87
68	2,48
89,6	2,92
104	3,01
105,6	3,05
108	3,15

112	3,4
128	3,8
144	3,9

Con la tabla anterior se puede construir una gráfica en Excel donde la distancia en km corresponde al eje de las ordenadas y el tiempo en Ma corresponde al eje de las abscisas. Luego de graficar los puntos se pueden ajustar linealmente para obtener una ecuación donde la pendiente nos dará la información sobre la velocidad de expansión del piso oceánico en el Rise Oriental del Pacífico en dimensión de [km/Ma].



Velocidad de expansión:

$$35.19 \frac{km}{Ma} \times \frac{1 Ma}{10^6 años} \times \frac{1000 m}{1 km} \times \frac{1000 mm}{1 m} = 35.19 \frac{mm}{año}$$

PROBLEMA 1-13 Determine la velocidad de expansión del piso oceánico sobre el Rise Sur-

Oriental Índico a partir del perfil de anomalías magnéticas dado en la Figura 1.24b.

A partir de la figura 1.24b y empleando una regla se midieron las distancias a partir del eje del

Rise para cada pico que marca el cambio en la pendiente de la anomalía magnética registrada.

Con el apoyo de la figura 1-20 se obtuvo la siguiente tabla de datos:

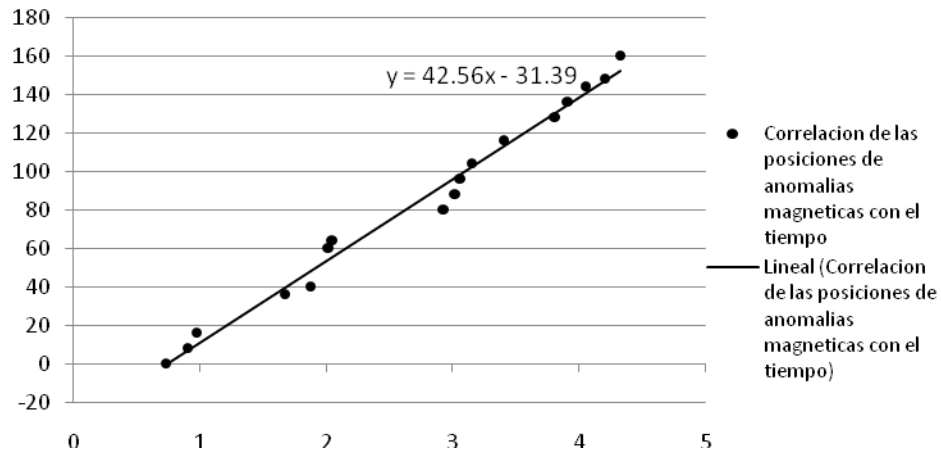
De la figura 1.24b	
Distancia	Tiempo
(km)	(Ma)
0	0,73
8	0,9
16	0,97

36	1,67
40	1,87
60	2,01
64	2,04
80	2,92
88	3,01
96	3,05
104	3,15
116	3,4
128	3,8

136	3,9
144	4,05
148	4,2
160	4,32

Con la tabla anterior se puede construir una gráfica en Excel donde la distancia en km corresponde al eje de las ordenadas y el tiempo en Ma corresponde al eje de las abscisas. Luego de graficar los puntos se pueden ajustar linealmente para obtener una ecuación donde la pendiente nos dará la información sobre la velocidad de expansión del piso oceánico en el Rise Oriental del Pacífico en dimensión de [km/Ma].

Correlación de las posiciones de anomalías magnéticas con el tiempo

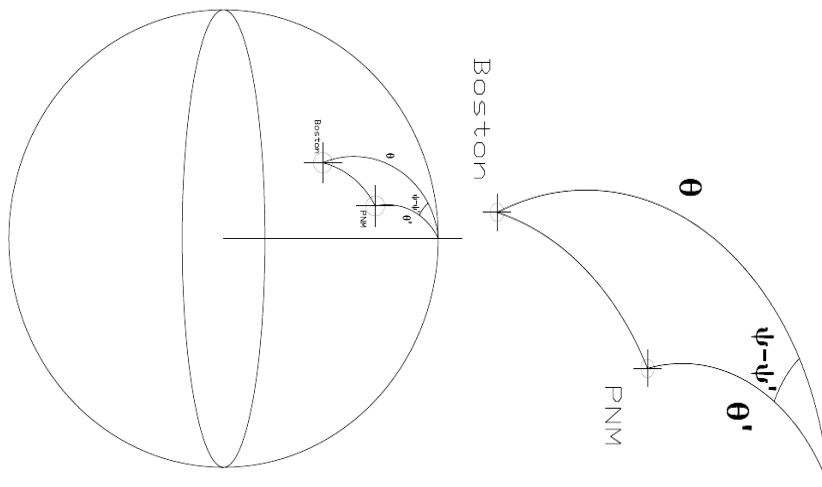


Velocidad de expansión:
$$42.57 \frac{km}{Ma} \times \frac{1 Ma}{10^6 años} \times \frac{1000 m}{1 km} \times \frac{1000 mm}{1 m} = 42.57 \frac{mm}{año}$$

PROBLEMA 1-14 Determine la declinación y la inclinación del campo magnético terrestre

en Boston ($\phi = 42.5^\circ$, $\psi = -71^\circ$). Utilice la aproximación de dipolo del campo, pero no asuma que

los polos magnéticos y geográficos coinciden.



Boston: $\phi = 42.5^\circ N$, $\psi = 71^\circ W$

Polo magnético: $\phi = 79^\circ N$, $\psi = 70^\circ W$

Ahora calculamos las colatitudes (θ): $Polo\ Magnético = \theta' = 90^\circ - 79^\circ = 11^\circ$

$$Boston = \theta = 90^\circ - 42.5^\circ = 47.5^\circ$$

Por tanto:

$$\begin{aligned}\theta_m &= \arccos(\cos\theta\cos\theta' + \sin\theta\sin\theta'\cos(\psi - \psi')) \\ &= \arccos(\cos(47.5)\cos(11) + \sin(47.5)\sin(11)\cos(71 - 70)) \\ &= 36.5^\circ\end{aligned}$$

Inclinación:

$$I = \arctan(2 \cot\theta_m) = \arctan(2 \cot(36.5)) = 69,69^\circ$$

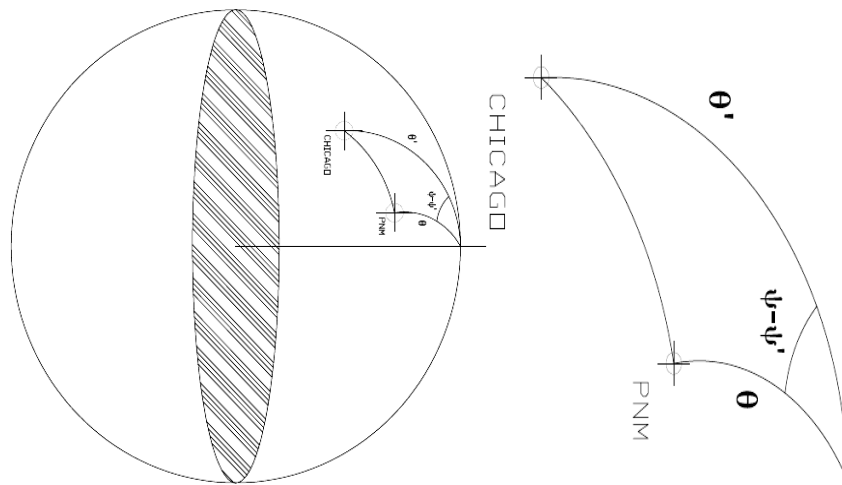
Declinación:

$$D = \sin^{-1}\left(\frac{\sin(\psi - \psi')\cos\theta}{\sin\theta_m}\right) = \sin^{-1}\left(\frac{\sin(71 - 70)\cos(79)}{\sin(36.5)}\right) = 0.32^\circ$$

PROBLEMA 1-15 Determine la declinación y la inclinación del campo magnético terrestre

en Chicago ($\phi = 41.8^\circ$, $\psi = -87.5^\circ$). Utilice la aproximación de dipolo del campo, pero no asuma que

los polos magnéticos y geográficos coinciden.



Chicago: $\phi = 41.8^\circ N, \quad \psi = 87.5^\circ W$

Polo magnético: $\phi = 79^\circ N, \quad \psi = 70^\circ W$

Ahora calculamos las colatitudes (θ): $Polo\ Magnético = \theta' = 90^\circ - 79^\circ = 11^\circ$

$Chicago = \theta = 90^\circ - 41.8^\circ = 48.2^\circ$

Por tanto:

$$\theta_m = \arccos(\cos\theta\cos\theta' + \sin\theta\sin\theta'\cos(\psi - \psi'))$$

$$\theta_m = \arccos(\cos(48.2)\cos(11) + \sin(48.2)\sin(11)\cos(87.5 - 70))$$

$$\theta_m = 37.8^\circ$$

Inclinación:

$$I = \arctan(2 \cot\theta_m) = \arctan(2 \cot(37.8)) = 68.8^\circ$$

Declinación:

$$D = \sin^{-1}\left(\frac{\sin(\psi - \psi')\cos\theta}{\sin\theta_m}\right) = \sin^{-1}\left(\frac{\sin(87.5 - 70)\cos(48.2)}{\sin(37.8)}\right) = 5.37^\circ$$

PROBLEMA 1-16

¿Cuál es la distancia superficial entre los polos magnéticos terrestres y

geográficos?

Coordenadas Polo Magnético terrestre: $\phi = 73^\circ N$ y $68^\circ S$ $\psi = 100^\circ W$ y $143^\circ E$

Desarrollo matemático:

$$S_1 = a \times \Delta$$

$$\cos \Delta = \cos \theta \cos \theta' + \sin \theta \sin \theta' \cos (\psi - \psi')$$

Donde:

$$\theta = 90 - 73 = 17$$

$$\theta' = 0$$

$$\Delta = \arccos(\cos(17) \cos(0) + \sin(17) \sin(0) \cos(100 - 0)) = 17^\circ$$

Entonces:

$$S_1 = a \times \Delta = 6380 \times 17 \text{ (rad)} = \mathbf{1892.98 \text{ m}}$$

Además:

$$S_2 = a \times \Delta$$

$$\cos \Delta = \cos \theta \cos \theta' + \sin \theta \sin \theta' \cos (\psi - \psi')$$

Donde:

$$\theta = 90 - 68 = 22$$

$$\theta' = 0$$

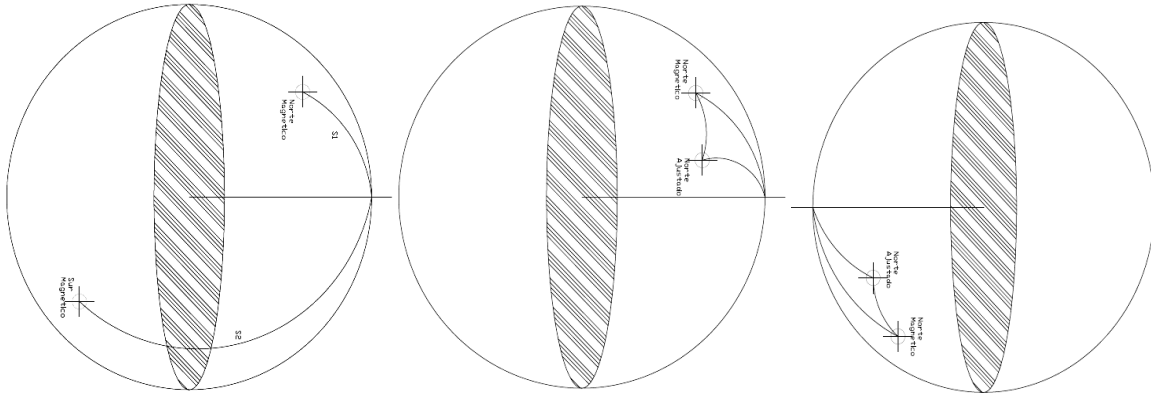
$$\Delta = \arccos(\cos(22) \cos(0) + \sin(22) \sin(0) \cos(143 - 0)) = 22^\circ$$

Entonces:

$$S_2 = a \times \Delta = 6380 \times 22 \text{ (rad)} = \mathbf{2449.75 \text{ m}}$$

PROBLEMA 1-17 ¿Cuál es la distancia superficial entre los polos magnéticos terrestres y los

polos ajustados al dipolo terrestre?



Coordenadas Polo Magnético terrestre: $\phi = 73^\circ N$ y $68^\circ S$ $\psi = 100^\circ W$ y $143^\circ E$

Coordenadas Polo Magnético Ajustado: $\phi = 79^\circ N$ y $79^\circ S$ $\psi = 70^\circ W$ y $110^\circ E$

Desarrollo matemático:

Parte 1. Distancia superficial Hemisferio norte:

Por tanto: $S_1 = a \times \Delta$

$$\cos \Delta = \cos \theta \cos \theta' + \sin \theta \sin \theta' \cos (\psi - \psi')$$

Donde:

$$\theta = 90 - 79 = 11$$

$$\theta' = 90 - 73 = 17$$

$$\psi - \psi' = 100 - 70 = 30$$

$$\Delta = \arccos(\cos(17) \cos(11) + \sin(17) \sin(11) \cos(30)) = 9.23^\circ$$

Entonces: $S_1 = a \times \Delta = 6380 \times 9.23 \text{ (rad)} = \mathbf{1027.78 \text{ m}}$

Parte 2. Distancia superficial Hemisferio Sur:

Por tanto: $S_2 = a \times \Delta$

$$\cos \Delta = \cos \theta \cos \theta' + \sin \theta \sin \theta' \cos (\psi - \psi')$$

Donde:

$$\theta = 90 - 79 = 11$$

$$\theta' = 90 - 68 = 22$$

$$\psi - \psi' = 143 - 110 = 33$$

$$\Delta = \arccos(\cos(22) \cos(11) + \sin(22) \sin(11) \cos(33)) = 14.05^\circ$$

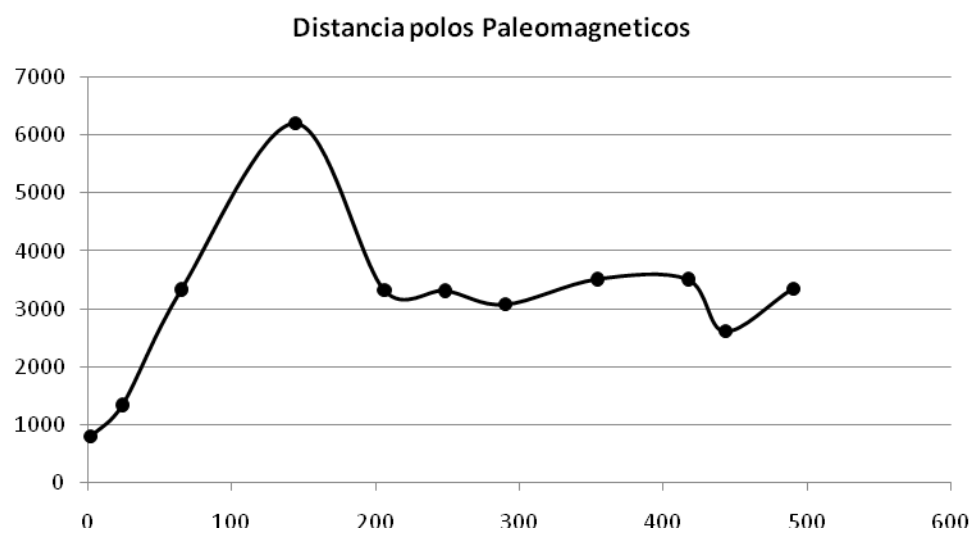
Entonces: $S_2 = a \times \Delta = 6380 \times 14.05 \text{ (rad)} = \mathbf{1564.20 \text{ m}}$

PROBLEMA 1-18 Dibuje la distancia entre los polos paleomagnéticos obtenidos de las rocas

Norte América y Europa como una función del tiempo. Analice los resultados.

POLO MAGNÉTICO								
PERIODO	LAT.	LONG.	LAT.	LONG.	COLATITUD	COLATITUD	DIF.	DISTANCIA
	USA	USA	EUR	EUR	USA	EUR	LONG	
terciario U	87	140	80	157	3	10	17	799.98
terciario L	85	197	75	151	5	15	46	1343.19
cretácico	64	187	86	0	26	4	187	3337.65
jurasico	76	142	36	50	14	54	92	6202.55
triásico	62	100	45	143	28	45	43	3326.53
pérmico	46	117	45	160	44	45	43	3316.70
carbonífer	37	126	38	161	53	52	35	3075.65

o								
devoniano	29	123	0	136	61	90	13	3512.92
silúrico	29	123	0	136	61	90	13	3512.92
ordovícico	28	192	10	176	62	80	16	2611.77
cámbrico	7	140	22	167	83	68	27	3345.70



La distancia entre los polos paleomagnéticos a lo largo del tiempo entre las rocas Norte América y Europa ha presentado un comportamiento secular. La diferencia de distancias entre las rocas en los periodos comprendidos entre el cámbrico y el pérmico ha sido relativamente constante; durante el período triásico al jurasico se presento un distanciamiento muy marcado y a partir de este último periodo se muestra un rápido acercamiento.

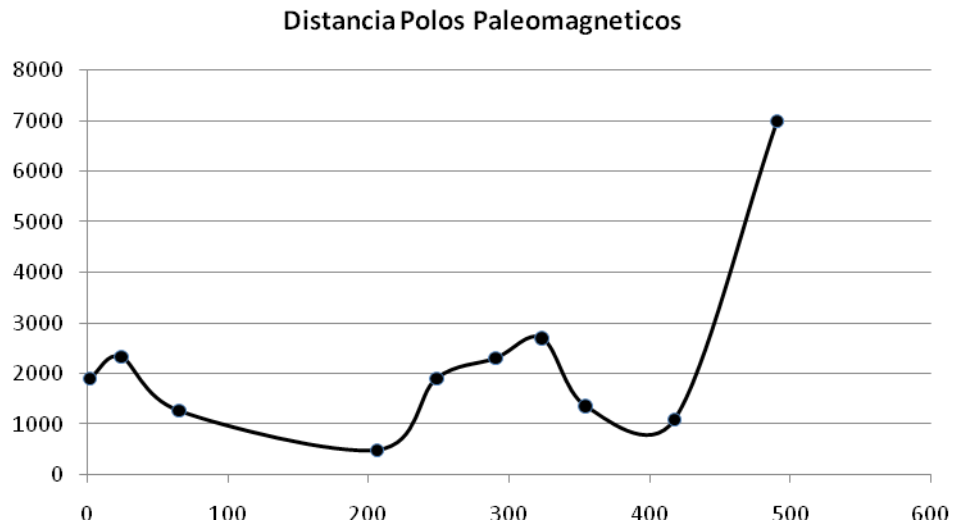
Lo anterior puede indicar que entre el cámbrico y el pérmico ambos continentes pudieron estar unidos. Para el triásico y jurásico podemos afirmar que puede ser la evidencia de una separación constante de ambos continentes.

PROBLEMA 1.19. Dibuje la distancia entre los polos paleomagnéticos obtenidos de las

plataformas Rusa y Siberia como una función del tiempo. Analice los resultados.

POLO MAGNÉTICO								
PERIODO	LAT.	LONG.	LAT.	LONG.	COLATITUD	COLATITUD	DIF. LONG	DISTANCIA
	RUSSIAN	RUSSIAN	SIBERIAN	SIBERIAN	RUSSIAN	SIBERIAN		
terciario U	78	191	66	234	12	24	43	1911.99
terciario L	68	192	57	152	22	33	40	2332.80
cretácico	66	166	77	176	24	13	10	1270.51
triásico	51	154	47	151	39	43	3	496.30

pérmico	44	162	34	144	46	56	18	1907.87
carbonífero	43	168	34	144	47	56	24	2308.14
U								
carbonífero	22	168	34	144	68	56	24	2701.37
L								
Devónico	36	162	28	151	54	62	11	1366.68
Silúrico	28	149	24	139	62	66	10	1094.92
Cámbrico	8	189	36	127	82	54	62	6987.02



La distancia entre los polos paleomagneticos a lo largo del tiempo entre las rocas Russian y Siberia ha presentado un comportamiento secular. En el periodo cámbrico las variaciones fueron altas, desde el periodo silúrico hasta el periodo actual se ha presentado un acercamiento de los polos.

Puede interpretarse como a través del tiempo estas dos masas continentales se fueron acercando hasta conformar un solo continente.

PROBLEMA 1-20 ¿Cuál es la tasa de propagación entre las placas Norte América y

Euroasiática en Islandia (65°N , 20°W)?

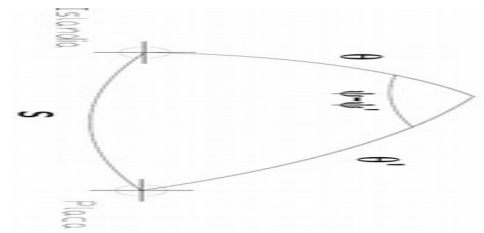
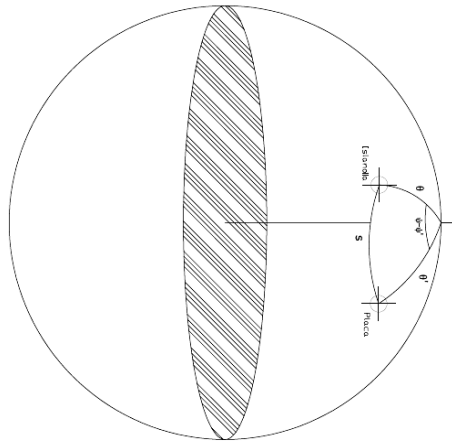
Coordenadas Placa Norte América – Euroasiática: $\phi = 65.8^{\circ}\text{N}$

$$\psi = 132.4^{\circ}\text{E}$$

$$\omega = 0.23^{\text{deg}}/\text{Ma}$$

Coordenadas Islandia: $\phi = 65^{\circ}\text{N}$

$$\psi = 20^{\circ}\text{W}$$



Donde:

$$\theta = 90 - 65.8 = 24.2$$

$$\theta' = 90 - 65 = 25$$

$$\psi - \psi' = 132.4 - (360 - 20) = -207.6$$

$$\Delta = \arccos(\cos(24.2)\cos(25) + \sin(24.2)\sin(25)\cos(-207.6)) = 47.69^\circ$$

$$u = \omega \cdot a \cdot \sin \Delta = (0.23) \text{ rad} \cdot 6380 \text{ km} \cdot \sin(47.69) = 18.93 \text{ km/Ma}$$

Esta velocidad obtenida corresponde a la velocidad de propagación respecto a las placas, es decir

en el océano. La velocidad de propagación en Islandia corresponde a:

$$Spreading = u/2 = 9.47 \text{ km/Ma}$$

PROBLEMA 1-21 ¿Cuál es la velocidad relativa entre las placas Nazca y Suramérica en Lima

(12°S, 77°W)?

Coordenadas Placa Nazca - Suramérica: $\phi = 59.1^\circ N$

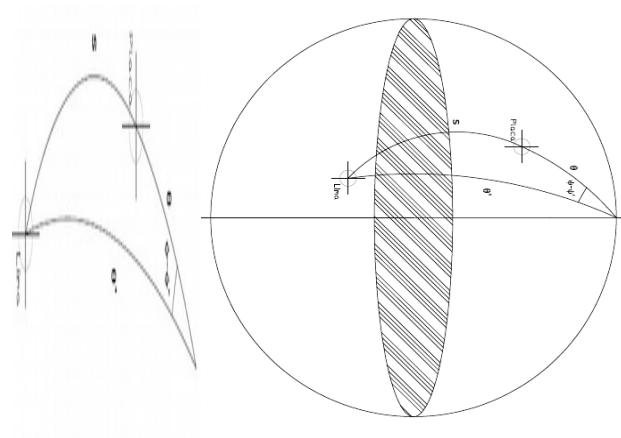
$$\psi = 94.8^\circ W$$

$$\omega = 0.84 \text{ deg/Myr}$$

Coordenadas Lima:

$$\phi = 12^{\circ}S$$

$$\psi = 77^{\circ}W$$



Donde:

$$\theta = 90 - 59.1 = 30.9$$

$$\theta' = 90 + 12 = 102$$

$$\psi - \psi' = 94.8 - 77 = 17.8$$

$$\Delta = \arccos(\cos(30.9)\cos(102) + \sin(30.9)\sin(102)\cos(17.8)) = 72.55^{\circ}$$

$$u = \omega \cdot a \cdot \sin \Delta = (0.84) \text{ rad} \cdot 6380 \text{ km} \cdot \sin(72.55) = 89.23 \text{ km/Ma}$$

PROBLEMA 1-22 ¿Cuál es la velocidad relativa entre las placas India y Euroasiática en los

Himalayas (30°N,81°E)?

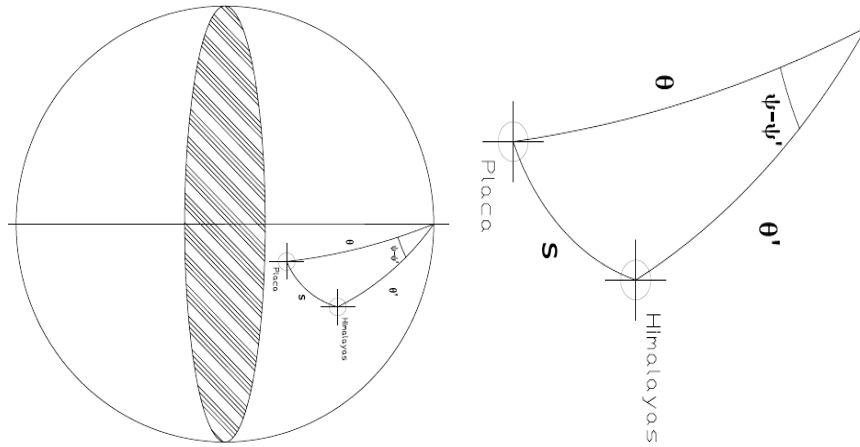
Coordenadas Placa India - Euroasiática: $\phi = 19.7^\circ N$

$$\psi = 38.5^\circ E$$

$$\omega = 0.70 \text{ } ^{deg}/Ma$$

Coordenadas Himalayas: $\phi = 30^\circ N$

$$\psi = 81^\circ E$$



Donde:

$$\theta = 90 - 19.7 = 70.3$$

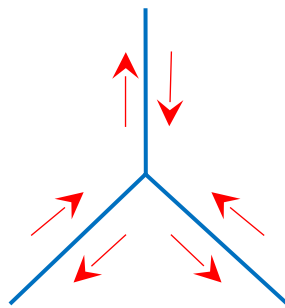
$$\theta' = 90 - 30 = 60$$

$$\psi - \psi' = 38.5 - 81 = -42.5$$

$$\Delta = \arccos(\cos(70.3)\cos(60) + \sin(70.3)\sin(60)\cos(-42.5)) = 39.67^\circ$$

$$u = \omega \cdot a \cdot \sin \Delta = (0.70) \text{ rad} \cdot 6380 \text{ km} \cdot \sin(39.67) = 49.76 \text{ km/Ma}$$

PROBLEMA 1-24 Demuestre que una unión triple de tres fallas transformantes no puede existir.



El movimiento de las fallas transformantes exige que la placa se mueva paralela de acuerdo al rumbo de la falla por lo tanto nunca podrá existir

PROBLEMA 1-25

Considere la triple unión TTT mostrada en la figura. Esta unión triple es

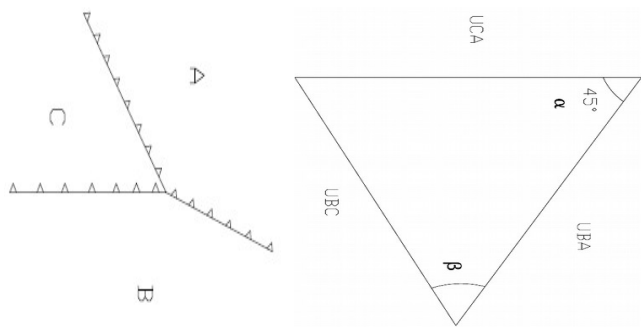
aceptable debido a que la velocidad relativa entre las placas C y A, U_{CA} , es paralela a la trinchera

en la cual la placa B está siendo subducida debajo de la placa C. la trinchera entre las placas C y B

tiene un azimut de 180° por lo cual U_{CA} tiene un azimut de 0° ; asuma que $U_{CA} = 50 \text{ mm/yr}$.

También asuma que el azimut y la magnitud de U_{BA} son 315° y 60 mm/yr . Determine el azimut y

magnitud de U_{BC}



$$Az_{CA} - Az_{BA} = \alpha$$

$$360 - 315 = 45$$

La Magnitud es:

$$U_{BC} = (U_{BA}^2 + U_{CA}^2 - 2U_{BA}U_{CA}\cos\alpha)^{1/2}$$

$$= ((60^2) + (50^2) - 2(60)(50)\cos(45))^{1/2}$$

$$= 43 \text{ mm/yr}$$

El azimut es:

$$\frac{U_{BC}}{\sin 45} = \frac{U_{CA}}{\sin \beta}$$

$$\beta = \arcsen\left(\frac{U_{CA}\sin 45}{U_{BC}}\right) = 55^\circ$$

$$U_{BC} = Az_{BA} - \beta = 315 - 55 = \mathbf{260^\circ}$$

PROBLEMA 1-26

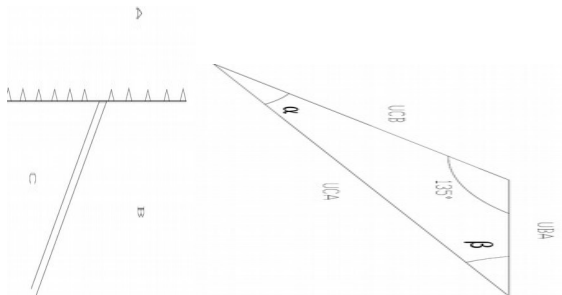
Considere la triple unión TTR ilustrada en la figura. Una dorsal con un

azimut de 135° relativa a la unión triple esta migrando a través de una trinchera Norte-Sur. Si el

azimut y magnitud de U_{BA} es 270° y 50 mm/yr y $U_{CB} = 40 \text{ mm/yr}$, determine el azimut y

magnitud de U_{CA} . También determine la dirección y tasa de migración de la dorsal respecto a la

placa A.



La Magnitud es: $U_{CA} = (U_{BA}^2 + U_{CB}^2 - 2U_{BA}U_{CB}\cos 135^\circ)^{1/2}$

$$\begin{aligned}
 &= ((50^2) + (40^2) - 2(50)(40) \cos(135^\circ))^{1/2} \\
 &= 83.23 \text{ mm/yr}
 \end{aligned}$$

El azimut es:
$$\frac{U_{BC}}{\text{sen}\beta} = \frac{U_{CA}}{\text{sen}135}$$

$$\beta = \arcsen\left(\frac{U_{CB}\text{sen}135}{U_{CA}}\right) = 19.86^\circ$$

$$U_{CA} = Az_{CA} - \beta = 270 - 19.86 = \mathbf{250.13^\circ}$$

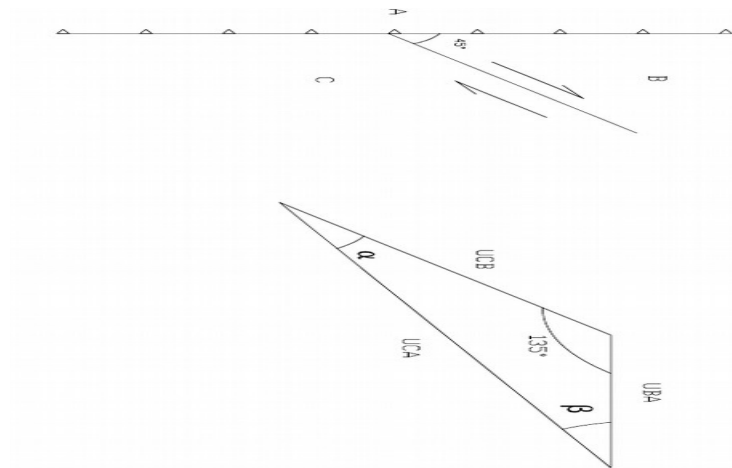
Ahora:
$$\alpha + 135 + \beta = 180$$

de donde:
$$\alpha = 25$$

$$\begin{aligned} \textit{Tasa Migracion Ridge} &= U_{BA}\cos\beta + U_{CB}\cos\alpha \\ &= (50)\cos(19.86) + (40)\cos(25) \\ &= \mathbf{83.23 \text{ mm/yr}} \end{aligned}$$

En dirección $U_{CA} = 250^\circ$ (Dirección de migración del ridge con respecto a A)

PROBLEMA 1-27 Considere la triple unión TTF ilustrada en la figura. Una falla de transformación lateral-derecha tiene un azimuth de 45° con respecto a la triple unión que esta migrando a través de una trinchera norte-sur. Si el azimuth y la magnitud de \mathbf{U}_{BA} es 270° y 50 mm/yr y $\mathbf{U}_{CB} = 50 \text{ mm/yr}$, determine el azimuth y magnitud de \mathbf{U}_{CA} . También determine la dirección y tasa de migración de la falla a traves de la trinchera.



La Magnitud es:

$$\begin{aligned}
 U_{CA} &= (U_{BA}^2 + U_{CB}^2 - 2U_{BA}U_{CB}\cos 135)^{1/2} \\
 &= ((50^2) + (50^2) - 2(50)(40)\cos(135))^{1/2} \\
 &= 92.38 \text{ mm/yr}
 \end{aligned}$$

El azimut es:

$$\begin{aligned}
 \frac{U_{BC}}{\sin \beta} &= \frac{U_{CA}}{\sin 135} \\
 \beta &= \arcsen\left(\frac{U_{CB}\sin 135}{U_{CA}}\right) = 22.5^\circ
 \end{aligned}$$

$$Az_{CA} = 180 - \beta = 157.5^\circ$$

Ahora:

$$\begin{aligned}
 \textit{Tasa Migracion Ridge} &= U_{CB}\cos 135 + U_{CA}\cos 22.5 \\
 &= (50)\cos(135) + (92.38)\cos(22.5) \\
 &= 50 \text{ mm/yr}
 \end{aligned}$$

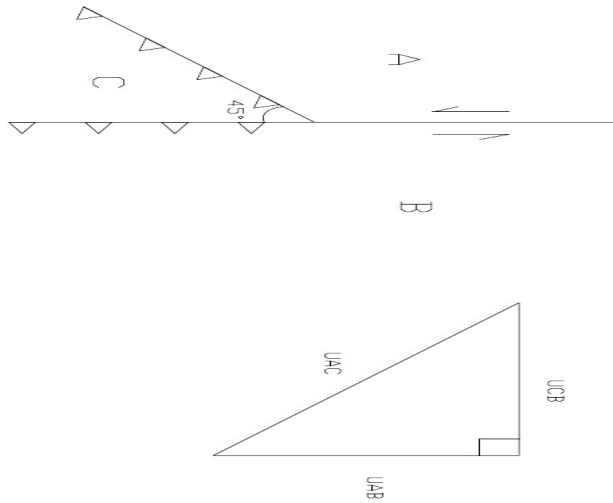
En dirección $U_{BA} = 270^\circ$ (Dirección de la falla a través de la Trinchera)

PROBLEMA 1-28 Considere la unión triple TTF mostrada en la figura. Una falla

transformante lateral – izquierda tiene un azimut de 0° , y dos trincheras tiene azimutes de 180° y

225° . Si el azimut y magnitud de U_{CB} es 90° y 10 mm/yr y $U_{AB} = 50 \text{ mm/yr}$, determine el

azimut y magnitud de U_{AC} .



La magnitud es: $U_{CA} = (U_{CB}^2 + U_{AB}^2)^{1/2}$

$$= (10^2 + 50^2)^{1/2}$$

$$= \mathbf{51 \text{ mm/yr}}$$

El Azimut es: $Az_{CA} = 225 - 90 = \mathbf{135}$

PROBLEMA 2-1 Un promedio de espesor de la corteza oceánica es 6 km. Su densidad es

2900 kg/m^3 . Esta cubierta por 5 km de agua ($\rho = 1000 \text{ kg/m}^3$) en una típica cuenca oceánica.

Determine la fuerza normal por unidad de área sobre un plano horizontal en la base de la corteza oceánica debida al peso de la corteza y el agua que la suprayace.

Fórmula para el cálculo: $\sigma_{yy} = \rho_a g y_a + \rho_{co} g y_{co}$ (1)

Donde:

σ_{yy} = esfuerzo o fuerza por unidad de área

ρ_a = 1000 kg/m³ (densidad del agua)

ρ_{co} = 2900 kg/m³ (densidad de la corteza oceánica)

y_a = 5000 m (altura de la columna de agua)

$$y_{co} = 6000 \text{ m (altura de la corteza oceánica)}$$

$$g = 9.8 \text{ m/s}^2 \text{ (gravedad)}$$

Reemplazando en (1):

$$\sigma_{yy} = \left(1000 \frac{\text{kg}}{\text{m}^3}\right) \left(9.8 \frac{\text{m}}{\text{s}^2}\right) (5000 \text{ m}) + \left(2900 \frac{\text{kg}}{\text{m}^3}\right) \left(9.8 \frac{\text{m}}{\text{s}^2}\right) (6000 \text{ m})$$

$$\sigma_{yy} = 2.2 \times 10^8 \text{ Pa} = 220 \text{ MPa}$$

PROBLEMA 2-2 Considere las estructuras oceánica y continental en la figura 2-3. La

corteza continental tiene un espesor h_{cc} y una densidad ρ_{cc} ; su superficie superior está al nivel del

mar. La corteza oceánica está cubierta con agua de profundidad h_a y densidad ρ_a . La corteza

oceánica tiene un espesor h_{co} y densidad ρ_{co} . La densidad del manto es ρ_m . Aplique el principio de

isostasia o equilibrio hidrostático para demostrar que la profundidad de la cuenca oceánica

relativa al continente está dada por:

$$h_a = \frac{(\rho_m - \rho_{cc})}{(\rho_m - \rho_a)} h_{cc} - \frac{(\rho_m - \rho_{co})}{(\rho_m - \rho_a)} h_{co} \quad (2-4)$$

Calcular h_a para $h_{cc} = 35$ km, $h_{co} = 6$ km, $\rho_m = 3300$ kg/m³, $\rho_a = 1000$ kg/m³, $\rho_{cc} = 2800$ kg/m³,

$\rho_{co} = 2900$ kg/m³,

Desarrollo matemático:

Reemplazando en (2-4):

$$h_a = \left(\frac{3300 \frac{kg}{m^3} - 2800 \frac{kg}{m^3}}{3300 \frac{kg}{m^3} - 1000 \frac{kg}{m^3}} \right) (35000 \text{ m}) - \left(\frac{3300 \frac{kg}{m^3} - 2900 \frac{kg}{m^3}}{3300 \frac{kg}{m^3} - 1000 \frac{kg}{m^3}} \right) (6000 \text{ m})$$

$$h_a = 6565 \text{ m} = 6.6 \text{ km}$$

PROBLEMA 2-3 Una cadena montañosa tiene una elevación de 5 km. Asuma que $\rho_m =$

3300 kg/m^3 , $\rho_c = 2800 \text{ kg/m}^3$, y que la referencia de corteza normal continental tiene un espesor

de 35 km, determine el espesor de la corteza continental debajo de la cadena montañosa. Asuma

que el equilibrio hidrostático es aplicable.

Fórmula a emplear:

$$h - b = h \left(1 - \frac{\rho_c}{\rho_m} \right) \quad (1)$$

Donde:

$$h_c = 35 \text{ km (espesor de la corteza continental)}$$

$$b = \text{profundidad del manto en la que el continente se hunde}$$

$$\rho_m = 3300 \text{ kg/m}^3 \text{ (densidad del agua)}$$

$$\rho_c = 2800 \text{ kg/m}^3 \text{ (densidad de la corteza oceánica)}$$

Según la figura 2-2 del libro y con la información del enunciado podemos deducir que:

$$h - b = 5 \text{ km} = 5000 \text{ m} \quad (2)$$

$$h = \frac{h-b}{\left(1 - \frac{\rho_c}{\rho_m}\right)} = \frac{5000 \text{ m}}{\left(1 - \frac{2800 \frac{\text{kg}}{\text{m}^3}}{3300 \frac{\text{kg}}{\text{m}^3}}\right)} = 33000 \text{ m} = 33 \text{ km}$$

Despejando h de la ecuación (1):

Finalmente el espesor total (h_t) de la corteza bajo la cadena montañosa estará dado por la suma

del espesor normal de la corteza más el valor encontrado de h:

$$h_t = h_c + h = 35 \text{ km} + 33 \text{ km} = \mathbf{68 \text{ km}}$$

PROBLEMA 2-4 Hay evidencia observacional a partir de los continentes que el nivel del

mar en el Cretáceo fue 200 m más alto que la actualidad. Después de unos pocos miles de años,

no obstante, el nivel del mar está en equilibrio isostático con las cuencas oceánicas. ¿Cuál es el

correspondiente incremento en la profundidad de las cuencas oceánicas? Tome $\rho_w = 1000 \text{ kg/m}^3$

y la densidad del manto desplazado como $\rho_m = 3300 \text{ kg/m}^3$.

Fórmula a emplear:

$$h - b = h \left(1 - \frac{\rho_w}{\rho_m} \right) \quad (1)$$

Donde:

$h - b = 200 \text{ m}$ (corteza elevada en la actualidad por encima del nivel del mar comparada con el

Cretáceo)

Despejando h en (1) y reemplazando valores:

$$h = \frac{h - b}{\left(1 - \frac{\rho_w}{\rho_m} \right)} = \frac{200 \text{ m}}{\left(1 - \frac{1000}{3300} \right)}$$

$$h = 287 \text{ m}$$

PROBLEMA 2-5 Considere un bloque continental con un espesor de 70 km

correspondiente a gran cadena montañosa. Si el continente tiene una densidad de 2800 kg/m^3 y

el manto una densidad de 3300 kg/m^3 , determine el esfuerzo tensional en el bloque continental.

Fórmula a emplear:

$$\Delta\sigma_{xx} = \frac{1}{2} \frac{\rho_m g b^2}{h} - \frac{1}{2} \rho_c g h = \frac{1}{2} \rho_c g h \quad (1)$$

Donde:

$$h = 70 \text{ Km}$$

$$\rho_c = 2800 \text{ Kg/m}^3$$

$$\rho_m = 3300 \frac{\text{Kg}}{\text{m}^3}$$

Reemplazando en (1):
$$\Delta\sigma_{xx} = \frac{1}{2} (2800 \text{ Kg/m}^3)(10 \text{ m/s}^2)(7 \times 10^4 \text{ m}) \left(1 - \frac{2800 \text{ Kg/m}^3}{3300 \text{ Kg/m}^3}\right)$$

$$\Delta\sigma_{xx} = -1.48 \times 10^8 \text{ Pa} = -148 \text{ MPa}$$

PROBLEMA 2-7 Asuma que la ley de la fricción dada en la ecuación 2-15 es aplicable a la

falla transformante ilustrada en la figura 2-7 con $f = 0.3$. Asuma también que el esfuerzo normal

σ_{xx} es litostático con $\rho_c = 2750 \text{ kg/m}^3$. Si la falla tiene 10 km de profundidad, ¿cuál es la fuerza

(por unidad de longitud de falla) de resistencia al movimiento sobre la falla? ¿Cuál es el esfuerzo

tectónico medio de cizalla sobre esta profundidad σ_{zx} requerido para sobreponer esta resistencia

friccional?

Fórmula a emplear:

$$\Delta F = A \sigma_{xz} = L_z \delta_y \sigma_{xz} \quad (1)$$

Donde:

ΔF = fuerza de resistencia al movimiento

A = área del plano de falla

L_z = longitud de la falla

δy = altura del plano de falla

σ_{xz} = esfuerzo de cizalla sobre el plano de falla

Expresando (1) por unidad de longitud obtenemos la fórmula que nos da la fuerza de resistencia

al movimiento sobre la falla por unidad de longitud:

$$\frac{\Delta F}{L_z} = \delta y \sigma_{xz} \quad (2)$$

Además sabemos que el esfuerzo normal es litostático: $\sigma_{xz} = f \sigma_{xx} = f \rho_c g y$ (3)

Donde:

$$f = 0.3 \text{ (coeficiente de fricción)}$$

$$\sigma_{xx} = \text{esfuerzo normal sobre el plano de falla}$$

$$y = 10 \text{ km (profundidad de la falla)}$$

$$g = 9.8 \text{ m/s}^2 \text{ (gravedad)}$$

$$\text{Reemplazando (3) en (2):} \quad \frac{\Delta F}{L_z} = \delta y f \rho_c g y \quad (4)$$

$$\text{Si hacemos infinitesimal la profundidad sobre el plano de falla:} \quad \frac{dF}{L_z} = f \rho_c g y dy \quad (5)$$

Integrando (5) y considerando la profundidad del plano de falla de 10000 m, tenemos que:

$$\frac{F}{L_z} = \int_0^{10000} f \rho_c g y dy = \frac{1}{2} f \rho_c g y^2 \Big|_0^{10000}$$

$$\frac{F}{L_z} = \frac{1}{2} \times 0.3 \times 2750 \frac{kg}{m^3} \times 9.8 \frac{m}{s^2} \times (10000 m)^2 = \mathbf{4.04 \times 10^{11} \frac{N}{m}}$$

Para finalizar, el esfuerzo tectónico medio de cizalla sobre la profundidad de la falla, requiere

sobrepasar el valor anterior de resistencia friccional, necesitando ser al menos la misma

magnitud de fuerza dividida por la profundidad de la falla. Entonces:

$$\bar{\sigma}_{zx} = \frac{\frac{F}{L_z}}{y} = \frac{4.04 \times 10^{11} \frac{N}{m}}{10000 m} = \mathbf{4.04 \times 10^7 Pa}$$

PROBLEMA 2-8

Considere un bloque de roca con una altura de 1 m y dimensiones

horizontales de 2 m. La densidad de la roca es 2750 kg/m^3 . Si el coeficiente de fricción es 0.8,

¿qué fuerza se requiere para empujar la roca sobre una superficie horizontal?

Basados en el diagrama de cuerpo libre de la situación planteada, afirmamos que:

$$\text{Sumatoria de fuerzas en } x = 0, \text{ entonces: } -F_f + F = 0 \quad (1)$$

$$\text{Sumatoria de fuerzas en } y = 0, \text{ entonces: } N - mg = 0 \quad (2)$$

Además: $F_f = fN$ (3)

Donde:

F_f = fuerza de fricción

F = fuerza necesaria para empujar la roca sobre una superficie horizontal

N = fuerza normal a la superficie de contacto entre roca y plano horizontal

m = masa de la roca

$g = 9.8 \text{ m/s}^2$

$f = 0.8$ (coeficiente de fricción)

$\rho = 2750 \text{ kg/m}^3$ (densidad de la roca)

$$V = 4 \text{ m}^3 \text{ (volumen de la roca)}$$

De (2) tenemos que: $N = mg = \rho Vg = 2750 \frac{\text{kg}}{\text{m}^3} \times 4 \text{ m}^3 \times 9.8 \frac{\text{m}}{\text{s}^2} = 107800 \text{ Newtons}$

Reemplazando el anterior resultado en (3): $F_f = 0.8 \times 107800 \text{ N} = 8.6 \times 10^4 \text{ N}$

Finalmente según la ecuación (1): $F = F_f = 8.6 \times 10^4 \text{ N}$

El anterior resultado constituye la fuerza mínima necesaria para igualar la fuerza de fricción.

Fuerzas superiores a este valor alcanzan a empujar la roca sobre la superficie horizontal.

PROBLEMA 2-9

Considere una masa de roca reposando sobre un plano inclinado como se

muestra en la figura 2-9. Por balanceo de fuerzas actuando sobre el bloque paralelas al plano

inclinado, demostrar que la fuerza tangencial por unidad de área $\sigma_{x'y'}$ sobre el plano que soporta

el bloque es $\rho g h \sin \theta$ (ρ es la densidad y h es el espesor del bloque). Demostrar que la condición

de deslizamiento es:

$$\theta = \tan^{-1} f \quad (2-18)$$

Basados en el diagrama de cuerpo libre obtenido a partir de la figura 2-9, afirmamos que si el

bloque se encuentra en equilibrio de fuerzas:

$$\text{Sumatoria de fuerzas en } x = 0, \quad \text{entonces:} \quad -F_f + \sigma_{x'y'} = 0 \quad (1)$$

$$\text{Sumatoria de fuerzas en } y = 0, \quad \text{entonces:} \quad N - \sigma_{y'y'} \cos \theta = 0 \quad (2)$$

$$\text{Además:} \quad F_f = fN \quad (3)$$

Donde en la ecuación (1) tenemos que la fuerza tangencial por unidad de área $\sigma_{x'y'}$ debida a la

acción de la fuerza de la gravedad sobre el bloque ubicado sobre el plano inclinado en un ángulo

θ a la que se opone la fuerza de fricción es:

$$\sigma_{x'y'} = \sigma_{y'y'} \text{sen } \theta = \rho g h \text{sen } \theta$$

Para encontrar la ecuación 2-18 primero reacomodamos la ecuación (1) reemplazando con la

expresión de la mitad de la ecuación anterior:

$$-F_f + \sigma_{y'y'} \text{sen } \theta = 0 \quad (4)$$

Pero según (2): $N = \sigma_{y'y'} \cos \theta$

Reemplazando el resultado anterior en (3): $F_f = f \sigma_{y'y'} \cos \theta$

Finalmente reemplazando en (4): $-f \sigma_{y'y'} \cos \theta + \sigma_{y'y'} \sen \theta = 0$

Buscamos despejar θ : $\sigma_{y'y'} \sen \theta = f \sigma_{y'y'} \cos \theta$

$$\frac{\sen \theta}{\cos \theta} = f, \quad \tan \theta = f$$

Finalmente:

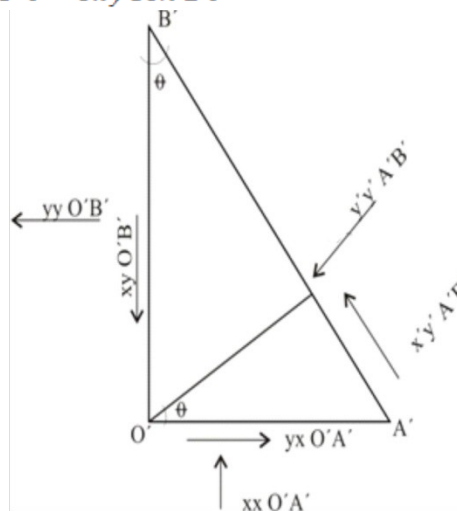
$$\theta = \tan^{-1} f$$

El anterior resultado significa que hemos encontrado el ángulo de inclinación a partir del cual se supera la situación de equilibrio e iniciaría el deslizamiento del bloque sobre la superficie inclinada.

PROBLEMA 2-10 La presión p_h de fluidos (agua) en los poros de las rocas reduce el efecto del esfuerzo normal efectivo que presiona las superficies a lo largo de una falla. Modifique la ecuación 2-17 para incorporar este efecto.

PROBLEMA 2-11 Demostrar que:

$$\delta y'y' = \delta xx \sin^2 \theta + \delta yy \cos^2 \theta - \delta xy \sin 2\theta$$



Fuerza en la cara $O'A'$: $\delta_{xx} O'A'$

Fuerza en la cara $O'B'$: $-\delta_{xy} O'B'$

Fuerza en la cara $A'B'$: $-\delta_{y'y'} A'B' \sin \theta - \delta_{x'y'} A'B' \cos \theta$

Igualando la fuerza cero nos queda:

$$(\delta y' y' \sin \theta + \delta x' y' \cos \theta) A'B' = \delta yy O'A' - \delta xy O'B'$$

Como: $\frac{O'A'}{A'B'} = \sin \theta$ y $\frac{O'B'}{A'B'} = \cos \theta$

Nos queda: $\delta y' y' \sin \theta + \delta x' y' \cos \theta = \delta xx \sin \theta + \delta xy \cos \theta$ (1)

Como ya sabemos: $\delta y' y' \cos \theta - \delta x' y' \sin \theta = \delta xy \sin \theta - \delta yy \cos \theta$ (2)

Multiplicamos la ecuación (1) por $\text{sen } \theta$, y la ecuación (2) por $\text{cos } \theta$. Sumamos los resultados y

usamos las siguientes identidades trigonométricas:

$$\begin{aligned}\cos^2 \theta + \sin^2 \theta &= 1 \\ \delta xy &= \delta yy \\ 2\sin \theta \cos \theta &= \sin 2 \theta\end{aligned}$$

$$\delta y'y' \sin^2 \theta + \delta x'y' \cos \theta \sin \theta = \delta xx \sin^2 \theta - \delta xy \cos \theta \sin \theta$$

$$\delta y'y' \cos^2 \theta - \delta x'y' \sin \theta \cos \theta = \delta yy \cos^2 \theta - \delta xy \cos \theta \sin \theta$$

Nos queda:
$$\delta y'y' (\sin^2 \theta + \cos^2 \theta) = \delta xx \sin^2 \theta + \delta yy \cos^2 \theta - \delta xy \sin 2 \theta$$

$$\delta y'y' = \delta xx \sin^2 \theta + \delta yy \cos^2 \theta - \delta xy \sin 2 \theta$$

PROBLEMA 2-12 El estado de esfuerzo en un punto sobre un plano de falla es $\sigma_{yy}=150$ MPa, $\sigma_{xx}=200$ MPa, y $\sigma_{xy}=0$ (y es la profundidad y el eje x apunta hacia el occidente). ¿Cuáles son los esfuerzos normal y tangencial sobre el plano de falla si la falla tiene dirección N-S y buzamiento 35° al occidente?

Solución:

$$\sigma_{xx} = 200 \text{ Mpa} \quad \theta = 35^\circ \quad \sigma_{yy} = 150 \text{ Mpa}$$

$$\sigma_{y'y'} = \sigma_{xx} \sin^2 \theta + \sigma_{yy} \cos^2 \theta - \sigma_{xy} \sin 2\theta$$

Con: $\sigma_{xy} = 0$

Tenemos: $\sigma_{y'y'} = 200 \text{sen}^2(35^\circ) + 150 \cos^2(35^\circ)$

$$\sigma_{y'y'} = 166.5 \text{ Mpa}$$

$$\sigma_{x'y'} = \frac{1}{2}(\sigma_{yy'} - \sigma_{xx})\text{sen}2\theta + \sigma_{xy} \cos 2\theta$$

$$\sigma_{x'y'} = \frac{1}{2}(150 - 200)\text{sen}(70^\circ)$$

$$\sigma_{x'y'} = -23.5 \text{ Mpa}$$

PROBLEMA 2-13 Demostrar que la suma de los esfuerzos normales sobre dos planos

ortogonales cualquiera es constante. Evaluar la constante.

Solución

Ecuaciones para esfuerzo normal independiente de la orientación:

Ecuación 2.45:

$$\sigma_{x'x'} = \frac{\sigma_1 + \sigma_2}{2} + \frac{\sigma_1 - \sigma_2}{2} \cos 2\theta$$

Ecuación 2.47:

$$\sigma_{y'y'} = \frac{\sigma_1 + \sigma_2}{2} - \frac{\sigma_1 - \sigma_2}{2} \cos 2\theta$$

Entonces:

$$\sigma_{x'x'} + \sigma_{y'y'} = \sigma_1 + \sigma_2$$

El cual es un valor constante ya que solo depende del valor de los esfuerzos principales.

PROBLEMA 2-14. Demostrar que los esfuerzos normales máximo y mínimo actúan sobre

planos que son ángulos rectos a cada uno.

Solución

Para determinar los esfuerzos normales máximo y mínimo derivamos la ecuación 2-38

$$\sigma_{x'x'} = \frac{\sigma_{xx} + \sigma_{yy}}{2} + \frac{\sigma_{xx} - \sigma_{yy}}{2} \cos 2\theta + \sigma_{xy} \sin 2\theta \quad (2-38)$$

$$\frac{d\sigma_{x'x'}}{d\theta} = -\frac{\sigma_{xx} - \sigma_{yy}}{2} 2\sin 2\theta + 2\sigma_{xy} \cos 2\theta = 0$$

Resolviendo esta ecuación obtenemos la orientación de los planos de esfuerzos normales

máximo y mínimo.

$$\tan 2\theta = \frac{2\sigma_{xy}}{\sigma_{xx} - \sigma_{yy}}$$

La solución tiene dos raíces θ_1 y θ_2 . Específicamente los valores $2\theta_1$ y $2\theta_2$ están separados

180° , entonces θ_1 y θ_2 estarán 90° aparte.

Los valores de θ_1 y θ_2 se sustituyen en la ecuación 2-38 y así se obtienen los esfuerzos normales.

Realizando las relaciones trigonométricas, sustituyendo en la ecuación 2-38 y simplificando tenemos

$$\sigma_{1,2} = \frac{\sigma_{xx} + \sigma_{yy}}{2} \pm \sqrt{\left(\frac{\sigma_{xx} - \sigma_{yy}}{2}\right)^2 + \tau_{xy}^2}$$

Dependiendo del signo escogido, este resultado da el máximo o mínimo en el plano de esfuerzos normales actuando en un punto, donde $\sigma_1 \geq \sigma_2$.

PROBLEMA 2-15 Determine la presión en el centro de la luna asuma que la densidad de la

luna 3300 Kg/m^3 y $a=1738 \text{ Km}$. ¿Cuál es la variación de g con el radio en la Luna?

La presión en el interior de un planeta se calcula mediante la siguiente ecuación:

$$p = \frac{2}{3} \rho^2 G (a^2 - r^2)$$

Como se desea determinar la presión de en el centro de la luna entonces $r = 0$, luego:

$$\begin{aligned}
 p &= \frac{2}{3} \rho^2 G (a^2) \\
 &= \frac{2}{3} \pi (3300) (6,67 \times 10^{-11}) (1738 \times 10^3)^2 \\
 &= 4,6 \times 10^9 \text{ Pa} = 4,6 \text{ GPa}
 \end{aligned}$$

La variación de la gravedad con el radio de la luna es:

$$\frac{\partial g}{\partial r} = \frac{4}{3} \pi \rho G = \frac{4}{3} \pi (3300) (6,67 \times 10^{-11}) = 9,21 \times 10^{-7}$$

PROBLEMA 2-16 Considere un modelo de dos capas de un planeta que consiste de un

núcleo de densidad ρ_c y radio b con un manto de densidad ρ_m y espesor $a-b$. Muestre que la

aceleración gravitacional es una función del radio.

La aceleración gravitacional está dada por:

$$g(r) = \frac{GM(r)}{r^2}$$

Donde:

$$M(r) = \int_0^r 4\pi x^2 \rho dx$$

Para $0 \leq r \leq b$ la única contribución a la aceleración es la del núcleo

$$M(r) = \int_0^r 4\pi x^2 \rho dx = \frac{4}{3} \pi r^3 \rho_c$$

Ahora para $b < r \leq a$ se tiene la contribución del núcleo mas la parte del manto que esta debajo

del punto r, esto es:

$$M = \frac{4}{3} \pi \rho_c b^3 + 4\pi \int_b^r x^2 \rho_m dx = \frac{4}{3} \pi \rho_c b^3 + \frac{4}{3} \pi \rho_m (r^3 - b^3)$$

Cambiando el valor de M(r) en la ecuación de la aceleración de la gravedad.

$$g(r) = \frac{4}{3} \pi \rho_c G r \quad \text{para } 0 \leq r \leq b$$

$$g(r) = \frac{4}{3} \pi b^3 \frac{(\rho_c - \rho_m)}{r^2} G + \frac{4}{3} \pi r \rho_m G$$

$$= \frac{4}{3} \pi G \left[r \rho_m + \frac{b^3}{r^2} (\rho_c - \rho_m) \right] \quad , \text{ para } b < r \leq a$$

La variación de la presión con la profundidad en coordenadas esféricas, tomando solo la

variación radial, esta descrita por:

$$\frac{dp}{dr} = -\rho g$$

Para $b < r \leq a$

$$p = -\int_a^r \rho_m \frac{4}{3} \pi G \left[r \rho_m + \frac{b^3}{r^2} (\rho_c - \rho_m) \right] dr = \frac{2}{3} \pi \rho_m G (a^2 - r^2) + \frac{4}{3} \pi \rho_m G b^3 \left[\frac{1}{r} - \frac{1}{a} \right] (\rho_c - \rho_m)$$

Para $0 \leq r \leq b$

$$\begin{aligned} p &= -\int_a^b \rho_m \frac{4}{3} \pi G \left[r \rho_m + \frac{b^3}{r^2} (\rho_c - \rho_m) \right] dr - \int_b^r \rho_c \frac{4}{3} \pi \rho_c G dr \\ &= \frac{2}{3} \pi G \rho_m^2 (a^2 - b^2) + \frac{2}{3} \pi G \rho_c^2 (b^2 - r^2) + \frac{4}{3} \pi \rho_m G b^3 (\rho_c - \rho_m) \left[\frac{1}{b} - \frac{1}{a} \right] \end{aligned}$$

Aplique el modelo a la Tierra, asuma $\rho_m = 4000 \text{ kg} / \text{m}^3$, $b=3486 \text{ Km.}$, $a = 6371 \text{ Km.}$

Calcule ρ_c dando que la masa total de la tierra $5,97 \times 10^{24}$ kg Cual es la presión en el centro de

la tierra y en la frontera núcleo manto? Cual es la aceleración de la gravedad en $r=b$?

Sabemos que

$$M = V_m \rho_m + V_c \rho_c$$

$$\rho_c = \frac{M - V_m \rho_m}{V_c}$$

Entonces

$$\rho_c = \frac{M - \frac{4}{3}\pi(a^3 - b^3)\rho^3}{\frac{4}{3}\pi b^3} = 13226 \text{ kg / m}^3$$

Presión en el centro de la tierra

$$p = \frac{2}{3}\pi G \rho_m^2 (a^2 - b^2) + \frac{2}{3}\pi G \rho_c^2 (b^2 - r^2) + \frac{4}{3}\pi \rho_m G b^3 (\rho_c - \rho_m) \left[\frac{1}{b} - \frac{1}{a} \right]$$

Como es en el centro $r=0$ entonces nos queda que

$$P(r = 0) = 4,17 \times 10^{11} \text{ Pa}$$

Presión en la interfase núcleo manto

$$P(r = b) = 1,21 \times 10^{11} \text{ Pa}$$

PROBLEMA 2-17 Las mediciones de esfuerzo de un corazón en una mina a una profundidad de 1.5 Km. dados por un esfuerzo normal de 62 MPa en dirección N-S, 48 MPa en la dirección E-W y de 51 MPa en dirección NE-SW. Determine las magnitudes y las direcciones de los principales esfuerzos.

El valor de los esfuerzos principales se calcula de la siguiente manera:

$$\sigma_{1,2} = \frac{\sigma_{xx} + \sigma_{yy}}{2} \pm \left[\frac{(\sigma_{xx} - \sigma_{yy})^2}{4} + \sigma_{xy}^2 \right]^{1/2}$$

$$\sigma_{yy} = 48MPa, \sigma_{xx} = 62MPa, \sigma_{xy} = 51MPa$$

$$\sigma_1 = 106MPa$$

$$\sigma_2 = 4MPa$$

La dirección se calcula mediante:

$$\operatorname{tg}(2\theta) = \frac{2\sigma_{xy}}{\sigma_{xx} - \sigma_{yy}}, \text{ entonces } \theta = 82^\circ \text{ NE}$$

PROBLEMA 2-18 Las medidas de los esfuerzos principales horizontales a una profundidad de 200m son dados como función de la distancia a la falla de San Andrés, cuales son los valores de los máximos esfuerzos de corte para cada distancia.

El máximo esfuerzo de corte esta dado por:

$$\sigma_{xy} = \frac{1}{2}(\sigma_1 - \sigma_2)$$

Distancia de la Falla	Máximo esfuerzo	Mínimo esfuerzo	Máximo esfuerzo de
Km	principal	principal	corte
2	9	8	0,5
4	14	8	3
22	18	8	5
34	22	11	5,5

PROBLEMA 2-19 El levantamiento de grandes áreas de subsidencia son acompañados por horizontales o laterales deformaciones causadas por la curvatura de la superficie de la tierra.

Muestre que la deformación lateral acompañada por un levantamiento Δy viene dada por

$$\xi = \frac{\Delta y}{R}, \text{ donde } R \text{ es el radio de la Tierra.}$$

Cuando la placa no ha sufrido ningún levantamiento la longitud de una pequeña rebanada, bajo

aproximación de ángulos pequeños se tiene que $l = 2\pi R$, ahora si la placa sufre un

levantamiento, la nueva longitud de la rebanada sera $l + \Delta l = 2\pi(R + \Delta y)$ entonces $\Delta l = 2\pi\Delta y$

lo que muestra que sufrir un levantamiento en la placa que subduce se presenta un cambio

lateral de longitud lo que nos da una deformación lateral dada por:

$$\xi = \frac{\Delta l}{l} = \frac{2\pi\Delta y}{2\pi R} = \frac{\Delta y}{R}$$

PROBLEMA 2-20 La porosidad de las rocas esta defina como el volumen vacio por unidad total de volumen. Si todos los espacios de los poros pueden ser llenados, por ejemplo, sometiendo la roca a grandes presiones cual puede ser la dilatación?

Roca	Porosidad %	Deformación
Hasmadk Dolomite	3.5	0,035
Marianna Limestone	13	0,13
Berea Sandstone	18,2	0,18

Muddy Shale	4,7	0,047
Repetto Slistone	5,6	0,056

PROBLEMA 2-21 Derivar la ecuación 2-106 a partir de la ecuación 2-102 usando la

sustitución $\theta' = \theta + \pi/2$. Porque puede hacerse esto?

Solución

La ecuación 2-102

$$\varepsilon_{x'x'} = \varepsilon_{xx} \cos^2 \theta + \varepsilon_{yy} \sin^2 \theta + \varepsilon_{xy} \sin 2\theta$$

Reemplazando $\theta' = \theta + \pi/2$ en la ecuación 2-102 para determinar $\varepsilon_{y'y'}$, tenemos

$$\varepsilon_{y'y'} = \varepsilon_{xx} \cos^2 \theta' + \varepsilon_{yy} \sin^2 \theta' + 2\varepsilon_{xy} \sin \theta' \cos \theta'$$

$$\varepsilon_{y'y'} = \varepsilon_{xx} \sin^2 \theta + \varepsilon_{yy} \cos^2 \theta - 2\varepsilon_{xy} \sin \theta \cos \theta$$

$$\varepsilon_{y'y'} = \varepsilon_{xx} \sin^2 \theta + \varepsilon_{yy} \cos^2 \theta - \varepsilon_{xy} \sin 2\theta$$

El cálculo de esta forma se puede realizar ya que se está haciendo una rotación de ejes de 90° ,

determinando las deformaciones en la dirección $y'y'$.

PROBLEMA 2-22 Demostrar que las deformaciones principales son las fracciones de cambio

en la longitud.

Solución

De la ecuación 2-121

$$\epsilon_{1,2} = \frac{\epsilon_{xx} + \epsilon_{yy}}{2} \pm \sqrt{\left(\frac{\epsilon_{xx} - \epsilon_{yy}}{2}\right)^2 + \epsilon_{xy}^2}$$

Las fracciones de cambio en la longitud a lo largo de las direcciones de los ejes de deformación

principal son las deformaciones principales.

Cuando el estado de deformación es representado por las deformaciones principales, la

deformación de cizalla no actúa en el elemento.

Entonces la ecuación 2-121 resulta en

$$\varepsilon_{1,2} = \frac{\varepsilon_{xx} + \varepsilon_{yy}}{2}$$

Ecuación que involucra las componentes de deformación principal, las cuales representan

deformación longitudinal a lo largo de los ejes principales de deformación, produciendo cambios

de volumen en el elemento.

PROBLEMA 2-23 Demostrar que la máxima deformación de cizalla es dada por $\frac{(\varepsilon_1 - \varepsilon_2)}{2}$.

Cuál es la dirección en la que la deformación de cizalla es máxima?

Solución

Derivando la ecuación 2-123

$$\varepsilon_{xy} = -\frac{1}{2}(\varepsilon_1 - \varepsilon_2)\sin 2\theta$$

$$\frac{d\varepsilon_{xy}}{d\theta} = -(\varepsilon_1 - \varepsilon_2)\cos 2\theta = 0$$

$2\theta = 90^\circ$, entonces $\theta = 45^\circ$ es el ángulo en el que se presentan las deformaciones normales

máximas.

Reemplazando θ en la ecuación 2-123

$$\varepsilon_{xy} = \pm \frac{1}{2}(\varepsilon_1 - \varepsilon_2)$$

PROBLEMA 2-24

Las coordenadas x_A, z_A y x_B, z_B de los monumentos A y B q se

muestran en la figura 2-26 se asumen conocidos. Determinar las coordenadas x_C, z_C del

monumento C en términos de las coordenadas de los monumentos A y B y los ángulos θ_1 y θ_2 .

$$P_A = (x_A, Z_A), \text{ datos conocidos}$$

$$P_B = (x_B, Z_B), \text{ datos conocidos}$$

$$P_C = (x_C, Z_C), \text{ datos Desconocidos}$$

$$d_{AB} = \sqrt{(x_B - x_A)^2 + (z_B - z_A)^2}$$

$$\frac{|AB|}{\text{sen}(\pi - \theta_1 - \theta_2)} = \frac{|AC|}{\text{sen}(\theta_2)}$$

Entonces:

$$|AC| = \frac{\text{sen}(\theta_2)|AB|}{\text{sen}(\pi - \theta_1 - \theta_2)}$$

$$x_c = AC \text{sen} \theta_2$$

$$z_c = AC \cos \theta_2$$

Reemplazando obtenemos:

$$x_c = \frac{\text{sen}(\theta_2)|AB|}{\text{sen}(\pi - \theta_1 - \theta_2)} \text{sen} \theta_1$$

$$z_c = \frac{\text{sen}(\theta_2)|AB|}{\text{sen}(\pi - \theta_1 - \theta_2)} \cos \theta_1$$

PROBLEMA 2-25 La figura 2-28 muestra tres monumentos en el Monte Diablo, la Montaña

Sonoma, el faro de Farallón y el cambio en el ángulo θ relacionado a las medidas desde 1855.

Asumiendo que estos tres monumentos yacen fuera de la zona de acumulación de deformación y

liberación en la Falla de San Andrés, determinar la velocidad relativa a través de la falla.

Solución

Trazando una línea de tendencia en la figura 2-28b, se obtiene

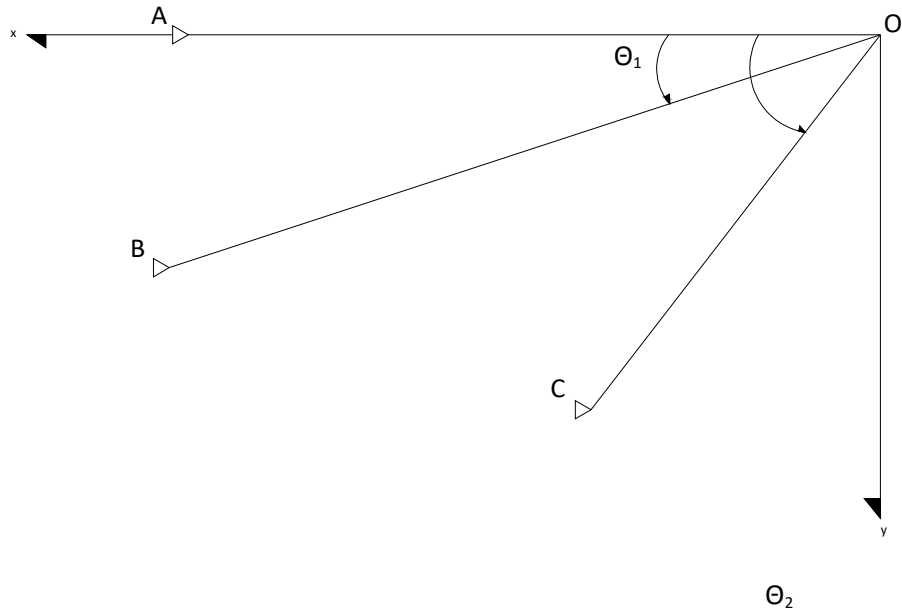
$$\frac{d\theta}{dt} = 0.102 \text{ sec de arco/año}$$

La longitud de la línea entre Farallón y Sodoma es 70 Km y cruza la falla de San Andres en un ángulo aproximado de 45°.

$$u = \frac{70 \times 10^6 * \text{sen} 45^\circ * 0.102}{3600 * 57.3} = 24.48 \text{ mm/año}$$

PROBLEMA 2-26 Las medidas de triangulación a monumento 0 dan la tasa de tiempo del

cambio de θ_1 , θ'_1 y la tasa de cambio en el tiempo de θ_2 , θ'_2 (figura).



Muestre que

$$\dot{\epsilon}_{xy} = \frac{1}{2} \frac{\dot{\theta}_1 \csc^2 \theta_1 - \dot{\theta}_2 \csc^2 \theta_2}{\operatorname{ctg} \theta_1 - \operatorname{ctg} \theta_2}$$

y

$$\dot{\epsilon}_{yy} = \frac{\dot{\theta}_2 \sec \theta_2 \csc \theta_2 - \dot{\theta}_1 \csc \theta_1 \sec \theta_1}{\operatorname{tg} \theta_2 - \operatorname{tg} \theta_1}$$

Donde $\dot{\epsilon}_{xx} = d\epsilon_{xx}/dt$ y así sucesivamente.

Tomando las ecuaciones

$$\dot{\epsilon}_{x'x'} = \dot{\epsilon}_{xx} \cos^2 \theta + \dot{\epsilon}_{yy} \sin^2 \theta + 2\dot{\epsilon}_{xy} \sin \theta \cos \theta$$

$$\dot{\epsilon}_{x''x''} = \dot{\epsilon}_{xx} \cos^2 \theta + \dot{\epsilon}_{yy} \sin^2 \theta + 2\dot{\epsilon}_{xy} \sin \theta \cos \theta$$

De la segunda ecuación se despeja $\dot{\epsilon}_{yy}$ y se reemplaza en la primera, de donde se obtiene:

$$\dot{\epsilon}_{xy} = \frac{1}{2} \frac{\dot{\epsilon}_{x'x'} \csc^2 \theta_1 - \dot{\epsilon}_{xx} (\operatorname{ctg} \theta_1 + \operatorname{ctg} \theta_2) - \dot{\epsilon}_{x''x''} \csc^2 \theta_2}{\operatorname{ctg} \theta_1 - \operatorname{ctg} \theta_2}$$

Tomando $\dot{\epsilon}_{x''x''} = \dot{\theta}_2$, $\dot{\epsilon}_{x'x'} = \dot{\theta}_1$, $\dot{\epsilon}_{xx} = 0$

Entonces se obtiene la solución al problema:

$$\dot{\epsilon}_{xy} = \frac{1}{2} \frac{\dot{\theta}_1 \csc^2 \theta_1 - \dot{\theta}_2 \csc^2 \theta_2}{\operatorname{ctg} \theta_1 - \operatorname{ctg} \theta_2}$$

Ahora, de la misma manera que para la ecuación anterior, se despeja $2\dot{\epsilon}_{xy}$ de la segunda ecuación

y se reemplaza en la primera de donde se obtiene:

$$\dot{\epsilon}_{yy} = \frac{\dot{\epsilon}_{x''x''} \sec \theta_2 \csc \theta_2 + \dot{\epsilon}_{xx} (-\operatorname{ctg} \theta_2 + \operatorname{ctg} \theta_1) - \dot{\epsilon}_{x'x'} \csc \theta_1 \sec \theta_1}{\operatorname{tg} \theta_2 - \operatorname{tg} \theta_1}$$

Se toman las mismas igualdades que en el caso anterior y se obtiene:

$$\dot{\epsilon}_{yy} = \frac{\dot{\theta}_2 \sec \theta_2 \csc \theta_2 - \dot{\theta}_1 \csc \theta_1 \sec \theta_1}{\operatorname{tg} \theta_2 - \operatorname{tg} \theta_1}$$

PROBLEMA 2-27

En la figura están las longitudes de las líneas a Diablo y a los monumentos

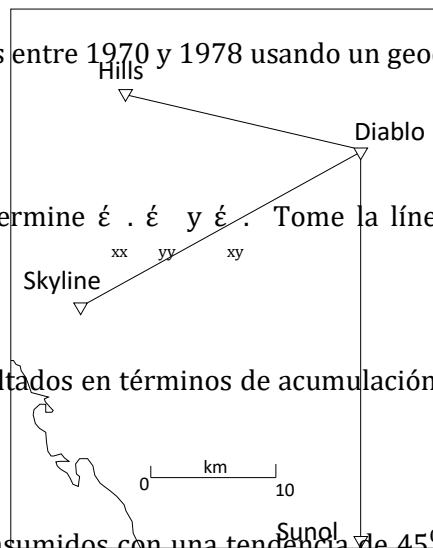
Hills, Skyline, y Sunol obtenidas entre 1970 y 1978 usando un geodimetro. Asumiendo un campo

de deformación uniforme, determine ϵ_{xx} , ϵ_{yy} y ϵ_{xy} . Tome la línea Sunol-Diablo para definir la

coordenada y . discuta los resultados en términos de acumulación de esfuerzos en la falla de San

Andrés los cuales pueden ser asumidos con una tendencia de 45° con respecto a la línea Sunol-

Diablo.



$$\epsilon_{y''y''}$$

$$\epsilon_{y'y'}$$

$$\varepsilon_{yy}$$

$$\dot{\varepsilon}_{y'y'} = \dot{\varepsilon}_{xx} \text{sen}^2 \theta_1 + \dot{\varepsilon}_{yy} \cos^2 \theta_1 - 2\dot{\varepsilon}_{xy} \text{sen} \theta_1 \cos \theta_1 \quad [1]$$

$$\dot{\varepsilon}_{y''y''} = \dot{\varepsilon}_{xx} \text{sen}^2 \theta_2 + \dot{\varepsilon}_{yy} \cos^2 \theta_2 - 2\dot{\varepsilon}_{xy} \text{sen} \theta_2 \cos \theta_2 \quad [2]$$

De [2] se despeja $2\dot{\varepsilon}_{xy}$ y reemplazando en [1], se obtiene:

$$\dot{\varepsilon}_{y'y'} = \dot{\varepsilon}_{xx} \text{sen}^2 \theta_1 + \dot{\varepsilon}_{yy} \cos^2 \theta_1 + \left(\frac{\dot{\varepsilon}_{y''y''} - \dot{\varepsilon}_{xx} \text{sen}^2 \theta_2 - \dot{\varepsilon}_{yy} \cos^2 \theta_2}{\text{sen} \theta_2 \cos \theta_2} \right) (\text{sen} \theta_1 \cos \theta_1)$$

Despejando $\dot{\varepsilon}_{yy}$:

$$\dot{\epsilon}_{yy} = \frac{\dot{\epsilon}_{y'y'} \csc \theta_1 \sec \theta_1 + \dot{\epsilon}_{xx}(-tg\theta_1 + tg\theta_2) + \dot{\epsilon}_{y''y''} \csc \theta_2 \sec \theta_2}{ctg\theta_1 - ctg\theta_2}$$

De la misma manera se despeja $\dot{\epsilon}_{xx}$:

$$\dot{\epsilon}_{xx} = \frac{\dot{\epsilon}_{y'y'} \csc \theta_1 \sec \theta_1 - \dot{\epsilon}_{yy}(ctg\theta_1 - ctg\theta_2) - \dot{\epsilon}_{y''y''} \csc \theta_2 \sec \theta_2}{tg\theta_1 - tg\theta_2}$$

Ahora de [2], se despeja $\dot{\epsilon}_{yy}$, y se reemplaza en [1], obteniendo:

$$\dot{\epsilon}_{y'y'} = \dot{\epsilon}_{xx} \sec^2 \theta_1 + \left(\frac{\dot{\epsilon}_{y''y''} - \dot{\epsilon}_{xx} \sec^2 \theta_2 + 2\dot{\epsilon}_{xy} \sec \theta_2 \cos \theta_2}{\cos^2 \theta_2} \right) (\cos^2 \theta_1) - 2\dot{\epsilon}_{xy} \sec \theta_1 \cos \theta_1$$

Despejando $\dot{\epsilon}_{xy}$:

$$\dot{\epsilon}_{xy} = \frac{1}{2} \frac{\dot{\epsilon}_{y'y'} \sec^2 \theta_1 - \dot{\epsilon}_{xx}(tg\theta_1 - tg\theta_2) - \dot{\epsilon}_{y''y''} \sec^2 \theta_2}{tg\theta_2 - tg\theta_1}$$

